

Vysoká škola: strojní a textilní

Katedra: obrábění a organizace

Fakulta: strojní

Školní rok: 1965/66

DIPLOMNÍ ÚKOL

pro

Vladimíra Gabriele

odbor

Protože jste splnil požadavky učebního plánu, zadává Vám vedoucí katedry ve smyslu směrnic ministerstva školství a kultury o státních závěrečných zkouškách tento diplomní úkol:

Název tématu: Určování tvrdosti brusných kotoučů na podkladě stanovení modulu pružnosti

Pokyny pro vypracování:

- 1) Zhodnotte zadání po stránce politicko-hospodářské
- 2) Uveďte přehled vlastností brusného kotouče
- 3) Vypracujte činitele ovlivňující modul pružnosti brusných kotoučů
- 4) Nevrhněte metody pro stanovení modulu pružnosti a její zdůvodnění
- 5) Uveďte měření vzorků dřívějšími metodami a nevrhovanou metodou a porovnejte výsledky
- 6) Shrňte poznatky a provedte ekonomickou úvahu

Autorské právo se řídí směrnicemi MŠK pro státní závěrečné zkoušky č. j. 31 727/62-III, 2 z. dne 13. července 1962. Věstník MŠK XVIII, sešit 24 z. dne 31. 8. 1962 § 19 autorského zákona č. 115/53 Sb.

VYSOKÁ ŠKOLA STROJNÍ A TEXTILNÍ
Ústřední knihovna
LIBEREC 1, STUDENTSKÁ 5

V 30/66 S

Rozsah grafických laboratorních prací: **4 - 5 výkresů, diagramy**

Rozsah průvodní zprávy: **40 - 60 stran**

Seznam odborné literatury:

- Maslov: Základy teorie broušení kovů, Praha, SNTL, 1953
- Kolektiv: Einführung in die Schleiftechnik
- Říčka: Vlastnosti brusného kotouče a jejich hodnocení
Strojírenství, č.5, 1960, 10
- Říčka: Hodnocení funkčních vlastností brusných nástrojů,
1965, 15
- Strojírenství č.7

Vedoucí diplomní práce: **Ing. Jan Šálek CSc**

Konsultanti: **Ing. Jaromír Gazda**

Datum zahájení diplomní práce: **26. 9. 1966**

Datum odevzdání diplomní práce: **5. 11. 1966**

L. S.



hus
Vedoucí katedry
Doc.ing. Jaroslav Dřešký

H
Dekan
Prof.ing. Cyril Höschl

VŠST
LIBEREC

Určování tvrdosti brusných
kotoučů na podkladě stanovení
modulu pružnosti.

DP - SZ 451/66
5 LISTOPADU 1966
Vladimír Gabriel

DIPLOMOVÁ PRÁCE

VŠST
LIBEREC

Určování tvrdosti brusných
kotoučů na podkladě stanovení
modulu pružnosti.

DP - ST 453/66
5. LISTOPADU 1966
Vladimír Gabriel

Obsah.

	str.
1. Úvod	1
2. Přehled vlastností brusného nástroje	4
2.1. Materiál brusných zrn	5
2.1.1. Umělý korund	5
2.1.2. Karbid křemíku	6
2.1.3. Karbid bóru	6
2.2. Zrnitost	7
2.3. Tvrdost brusného nástroje	8
2.3.1. Subjektivní metoda	8
2.3.2. Metoda Zeisse-Mackensenova	9
2.3.3. Vtlačování kuličky	10
2.3.4. Vyvrtávání délku	10
2.3.5. Gradeometr	11
2.3.6. Vtiskování ohřátého kužeče	11
2.3.7. Lindnerova metoda	11
2.3.8. Pekleníková metoda	11
2.4. Pojivo	12
2.4.1. Keramické pojivo	12
2.4.2. Bakelitové pojivo	13
2.4.3. Gumové pojivo	14
2.4.4. Magnesitové pojivo	14
2.4.5. Silikátové pojivo	14
2.5. Struktura brusných nástrojů	14
2.6. Kontrola jakosti brusného kotouče zjištěním jeho vlastností při broušení	16

VŠST
LIBEREC

Určování tvrdosti brusných
kotoučů na podkladě stanovení
modulu pružnosti.

DP - ST 453/66

5. LISTOPADU 1966

Vladimír Gabriel

3.	Vlivy působící na modul pružnosti brusných nástrojů	str. 19
3.1.	Vliv půrovitosti	19
3.2.	Vliv množství pojiva	21
3.3.	Vliv velikosti zrna	22
3.4.	Vliv teploty vypalování	22
4.	Stanovení modulu pružnosti brusných nástrojů	25
4.1.	Zkušební metody	25
4.1.1.	Metoda chybová	25
4.1.2.	Metoda měření vlastní frekvence přič- ných kmitů	27
4.1.3.	Dvojkyyadlová metoda Rolland-Serinova	28
4.2.	Zdůvodnění výběru metody	32
4.3.	Výpočet tuhosti brusného kotouče	33
5.	Vlastní měření	40
5.1.	Měřicí zařízení	40
5.1.1.	Oscilografický záznam průběhu zázněje	43
5.2.	Výběr vzorků	45
5.3.	Měření vzorků metodou Zeiss-Macken- senovou	45
5.4.	Měření vzorků metodou Rolland-Serinovou	46
6.	Porovnání výsledků Zeiss-Mackensenovy a Rolland-Serinovy metody	55
7.	Závěr	58
	Použitá literatura	60

Přílohy: výkresy DP - 453/66 - 01

DP - 453/66 - 02

VŠST
LIBEREC

Určování tvrdosti brusných
kotoučů na podkladě stanovení
modulu pružnosti.

DP - ST 453/66

5 LISTOPADU 1966

Vladimír Gabriel

... a mimo jiné i smlouvy se světovými směrnicemi MŠK pro státní
výrobky č. 1. 31/727/62-11/2 ze dne
13. 8. 1962, Věstník M. V. V. p., č. 24 ze dne
31. 8. 1962 § 19 autorského zákona č. 115/53 S.

1.

Úvod.

V současné době, kdy se nás průmysl a zvláště strojírenská výroba řadí mezi nejvýspělejší na světě, je základním úkolem udržovat krok se světovým vývojem. Není možné pouze pasivně přejímat poznatky, vytvořené ve výzkumných střediscích v cizině, ale je nutné podílet se aktivně na výzkumu a aplikaci jeho výsledků v praxi. K uskutečnění těchto předpokladů a rozšíření stávajícího výzkumu má přispět i nová soustava řízení národního hospodářství.

Ve strojírenské výrobě je stále nejrozšířenější operací třískové obrábění. Z veškeré pracnosti výroby na něj připadá stále více než 30 %. Třískové obrábění je doposud těžko nahraditelné v operacích, kde chceme dosáhnout co největší přesnosti a dokonalosti tváru výrobku, a je nepostradatelné při dokončovacích operacích. Nevýhodou třískového obrábění jsou značné ztráty při obrábění přídavků po předchozích operacích. Je proto snaha přecházet ve velkoseriové a hromadné výrobě na produktivnější beztřískové zpracování, jako je přesné lití a kování, tváření, svařování a prášková metalurgie. Tím se snižuje procento klasického třískové obrábění, frézování, soustružení, hoblování a pod. Na druhé straně však neustále roste podíl broušení, které je u přesných polotovarů základním druhem třískového obrábění. V automobilovém průmyslu, který lze považovat po stránce technologické za nejvýspělejší, je podíl brusek v parku obráběcích strojů kolem 30 % a neustále roste. Broušení,

VŠST
LIBEREC

Určování tvrdosti brusných
kotoučů na podkladě stanovení modulu pružnosti.

DP - ST 453/66
5. LISTOPADU 1966
Vladimír Gabriel

jako hrubovací i dokončovací operace, přináší vysoké úspory na nástrojích a přípravcích. Dalším zdrojem úspor jsou menší přídavky u přesných polotovarů pro broušení. Firma Norton zjistila, že zavedením brusného obrábění by se ušetřilo v USA ročně 14 miliard dolarů vynakládaných na obrábění velkých přídavků a 18 milionů tun kovu.

Pro praxi je rozhodující výsledek broušení, který závisí obecně na vlastnostech brusného nástroje a na pracovních podmínkách. K dosažení maximální efektivnosti broušení je tedy nutno přesně stanovit brusné režimy a znát přesné vlastnosti brusného nástroje. To je důležité zvláště pro automatizovanou výrobu, kde potřebujeme brusné nástroje vysoké a hlavně standardní jakosti. AZNP Mladá Boleslav má na př. potíže s broušením osazených hřídelů dvěma kotouči současně; stává se, že jeden z kotoučů je tvrdší a ubývá pomaleji. Přípustné tolerance je pak obtížné dodržet, je nutno kotouče často orovnat a produktivita linky klesá.

Pro posuzování vlastností brusných nástrojů nejsou dosud vypracovány spolehlivé a objektivní metody, které by zaručily stejné vlastnosti kotoučů výrobcem stejně označených. Je proto důležité jednak zkvalitnit výrobu brusných nástrojů a odstranit subjektivní vlivy, působící na jakost nástroje ve výrobě, jednak vytvořit nové metody zkoušení brusných nástrojů, které by jednoznačně nástroj klasifikovaly.

Tato práce podává stručný přehled základních vlastností brusného nástroje a metod, používaných pro jejich zkoušení a zabývá se dále poměrně novým způsobem zjišťování jedné z nejdůležitějších vlastností brusného nástroje - tvrdosti - na základě měření modulu pružnosti.

VŠST
LIBEREC

Určování tvrdosti brusných
koteučů na podkladě stanovení
modulu pružnosti.

DP-ST 453/66
5. LISTOPADU 1966
Vladimír Gabriel

Lze očekávat, že modul pružnosti jako kriterium tvrdosti brusného nástroje přinese některé další poznatky v oblasti brusiva a broušení, umožní zkvalitnit brusný proces a dodržet standard jakosti, který je důležitým ukazatelem technické úrovně brusných nástrojů.

VŠST
LIBEREC

Úrčování tvrdosti brusných
ketečů na podkladě stanovení modulu pružnosti.

DP -ST 453/66
5. LISTOPADU 1966
Vladimír Gabriel

2.

Přehled vlastností brusného nástroje.

Jak bylo řečeno v úvodu, je dokonala znalest vlastnosti brusného nástroje pro moderní automatizovanou výrobu nezbytná. Pro další rozvoj technologie broušení je proto důležité rezídit poznatky nejenom o broušení jako obráběcím procesu, ale i o vlastnostech brusného nástroje samotného.

Brusný nástroj je tvořen velkým množstvím brusných zrn navzájem spojených můstky pojiva. Je charakterizován těmito základními veličinami:

- 1/ materiál brusných zrn
- 2/ zrnitost
- 3/ tvrdost nástroje
- 4/ druhem pojiva
- 5/ strukturou

Označení brusných nástrojů podle normy ČSN 224010 přesně určuje všech pět základních parametrů.

materiál brus.zrn	zrnitost	tvrdost	struktura	druh pojiva
A 99	46	L	8	V

VŠST
LIBEREC

Určování tvrdosti brusných
kotoučů na podkladě stanovení modulu pružnosti.

DP - ST 453/66

5. LISTOPADU 1966

Vladimír Gabriel

2.1. Materiál brusných zrn.

Každé brusné zrno přicházející do styku s breušeným materiálem tvoří v podstatě miniaturní řezný nástroj. Z toho hlediska je nutno posuzovat vhodnost tvaru a mechanických i fyzikálních vlastností zrn.

1/ Geometrie zrna by měla být taková, aby řezné úhly byly optimální.

2/ Zrno musí být velmi tvrdé, značně tvrdší než broušený materiál, nesmí však být křehké a musí mít dostatečnou dynamickou pevnost.

3/ Vzhledem k trvanlivosti zrna požadujeme velkou tepelnou vzdivost a vysoký bod tání zrna.

4/ Zrno musí být odolné proti spotřebení třením.

Těmto požadavkům nejlépe vyhovují:

a/ přírodní materiály: přírodní korund
smírek
diamant

b/ umělé materiály : umělý korund
karbid křemíku
karbid bóru

Přírodní materiály se v současné době téměř nepoužívají. Mají totiž menší chemickou čistotu, než materiály umělé.

2.1.1. Umělý korund /elektrokorund/

Umělý kerund je krystalický kysličník hlinitý Al_2O_3 . Podle obsahu nečistot, hlavně

VŠST
LIBEREC

Určování tvrdosti brusných
kotoučů na podkladě stanovení
modulu pružnosti.

DP - ST 453/66

5. LISTOPADU 1966

Vladimír Gabriel

kysličníku železitého, vápenatého a křemičitého, dělíme korund na bílý, s obsahem 98-99% Al_2O_3 , nebo hnědý a černý, s obsahem 93-98% Al_2O_3 . Vyrábí se také růžový korund s příměsí kysličníku chromititého, který je houževnatější a tvrdší.

Umělý korund je velmi tvrdý a snáší teploty až 2050°C . Je tedy vhodný pro broušení slitin s velkou pevností v tahu, jako je ocel, temperovaná litina a pod. Z elektrokorundu se vyrábí asi 70% všech brusných nástrojů.

2.1.2. Karbid křemíku.

SiC se vyrábí v elektrických odporových pecích redukcí kysličníku křemíčitého koksem. Technický karbid křemíku je podle obsahu velného uhlíku zelený, s apon 97% SiC , šedý nebo černý. Karbid křemíku má vysokou tvrdost, vyšší než elektrokorund a rubín. Užívá se hlavně k broušení křehkých materiálů, ale lze jej použít i pro ocel.

2.1.3. Karbid bóru.

Používá se sice velmi málo pro vysokou cenu, přestože má některé výhodné vlastnosti, zvláště vysokou tvrdost. Získává se z kysličníku boritého karbidizací. Technický obsahuje asi 85-95% B_4C . Vyrábí se pouze jako lakovací prášek.

2.2. Zrnitest / ČSN 224013-14 /

Po vyjmutí z elektrické pece se drúzy krystalů brusiva drtí, zrno se chemicky čistí a suší. Vysušené zrno se třídí na sítech. Zrnit-

VŠST
LIBEREC

Určování tvrdosti brusných
kotoučů na podkladě stanovení modulu pružnosti.

DP - ST 453/66

5. LISTOPADU 1966

Vladimír Gabriel

test je udána číslem, které představuje počet ok síta na délce 1", kterým zrno naposled propadne. Průměr drátu sít s různě velkými oky je různý a je dán normou. Zrna jemnější než 240 se třídí plavením. Jsou pak označena číslem, které udává dobu v minutách, potřebnou k sedimentaci. Zrno označené určitým číslem může obsahovat část zrn hrubších a jemnějších. Přípustný obsah zrn jiných velikostí je určen normou.

Kontrola zrnitosti se provádí proséváním na kontrolních sítech; 6 minut pro zrnitost 8 - 120, 10 minut pro zrnitost nad 120. Zrna M 32 až M 5 se kontrolují mikroskopickým rozborem při 600másečném zvětšení. Pro kontrolu zrnitosti již hotových nástrojů je nutno pojivo chemicky rozrušit.

2.3.

Tvrdoš brusného nástroje.

Tvrdoš brusného nástroje je v podstatě funkcí tvrdosti a pružnosti pojiva, jeho součinnosti se zrnem, množství, velikosti a tvaru můstek pojiva, množství a velikosti brusného zrna. Tvrdoš brusného zrna nemá podstatný vliv na tvrdost brusného nástroje.

Při broušení je třeba použít nástroj takové tvrdosti, aby se zrno po otupení roztoucí řeznou silou samo vydrelilo. Je-li nástroj příliš tvrdý, nevyloupnou se otupená zrna a kotouč pálí, je-li naopak nástroj měkký, rychle ubývá. Brousíme proto tvrdé materiály měkkými kotouči a naopak. Pro měď, mosaz, hliník a pod. pravidlo neplatí, protože tvrdé kotouče se těmito materiály zanášeji.

VŠST
LIBEREC

Určování tvrdosti brusných koteučů na podkladě stanovení modulu pružnosti.

DP - ST 453/66

5. LISTOPADU 1966

Vladimír Gabriel

Označování tvrdosti brusných nástrojů je obsaženo v ČSN 224011 a je provedeno písmeny E až Z od měkkého až po zvláště tvrdý.

Pro měření tvrdosti brusného nástroje bylo vytvořeno značné množství metod, z nichž jen několik je prakticky použitelných. U většiny způsobu jde o vylamování zrnu z pojiva.

2.3.1. Subjektivní metoda. / obr.1 /

Používá se zatím velmi často. Do brusného nástroje se rýpe ruční škrabkou a podle značných praktických zkušeností, které jsou v tomto případě nutné, se odhadne tvrdost.



Obr.1. Ruční škrabka.

2.3.2. Metoda Zeiss-Mackensenova.

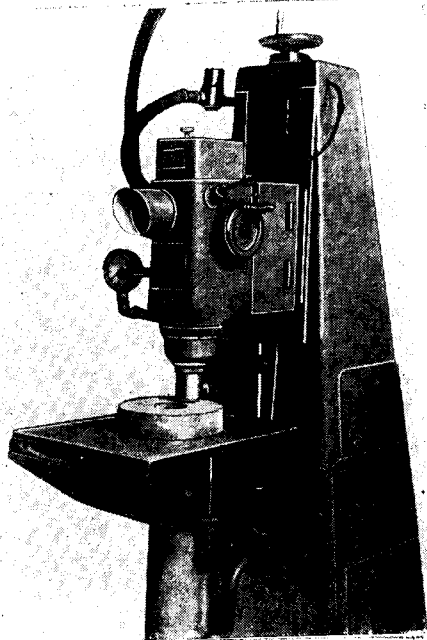
Vedle subjektivní metody je Zeiss-Mackensenův způsob jediný, který se u nás běžně používá pro zrnitost 10 - 100 a keramické a bakelitové pojivo. Měřítkem tvr-

VŠST
LIBEREC

Určování tvrdosti brusných
kotoučů na podkladě stanovení
modulu pružnosti.

DP - ST 453/66
5. LISTOPADU 1966
Vladimír Gabriel

desti je hloubka délku, který vznikne v nástreji tryskáním 28 cm³ křemičitého písku. Celjeho vání přístroje se provádí seřízením trysky tak, aby ve skleněné desce vznikl důlek hloubky 2,13 mm. Na tomto principu pracuje i sovětský přístroj TF 21-1 /obr.2/ .



Obr.2. Přístroj TF 21 - 1 .

2.3.3. Vtlacování kuličky.

Pro brusné nástroje s keramickým a bákelitovým pojivem zrnitosti 100-M 14 se používá vtlacování kuličky 1/4" nebo 1/8" na Rockwellově přístroji. Měřítkem tvrdosti je hloubka vtisku.

Ve VÚVL byla navržena metoda, umožňující zkoušet na Rockwellově přístroji kotouče hrubšího zrnění a otevřenější struktury. Užívá se kuličky s ploškou /obr.3b/ .

VŠST LIBEREC	Určování tvrdosti brusných koteučů na podkladě stanovení modulu pružnosti.	DP - ST 453/66 5. LISTOPADU 1966 Vladimír Gabriel
-----------------	--	---

a/ b/

Obr.3. Vtlášování kuličky.

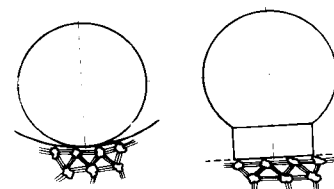
Jak je z obrázku patrné, obsáhne ploška více zrn a měření je přesnější.

2.3.4. Vyvrtávání důlku.

Pro zkoušení tvrdosti kotoučů s gumovou vazbou se v SSSR používá vyvrtávání důlku speciálním plochým vrtákem, zatíženým konstantní silou. Tvrdost kotouče je udána počtem otáček potřebných k vyvrtání důlku hloubky 2,5mm.

2.3.5. Gradeometr.

Gradeometr měří tvrdost vnikáním dlátka průřezu 2 x 0,8 mm postupnými rázy za současného otáčení. Měřítkem tvrdosti je hloubka důlku po určitém počtu rázů. Gradeometr je vhodný pro všechny druhy brusných nástrojů s keramickou vazbou.



VŠST
LIBEREC

Určování tvrdosti brusných
kotoučů na podkladě stano -
vení modulu pružnosti.

DP - ST 453/66

5. LISTOPADU 1966

Vladimír Gabriel

2.3.6.

Vtiskování ohřátého kužele.

Pro koteuče s gumovou vazbou byla vyvinuta metoda měření tvrdosti vtlačováním elektricky ohřívaného kužele. Měřítkem tvrdosti je hloubka tlaku. Na tomto principu pracuje sovětský přístroj TK-NP 3.

2.3.7.

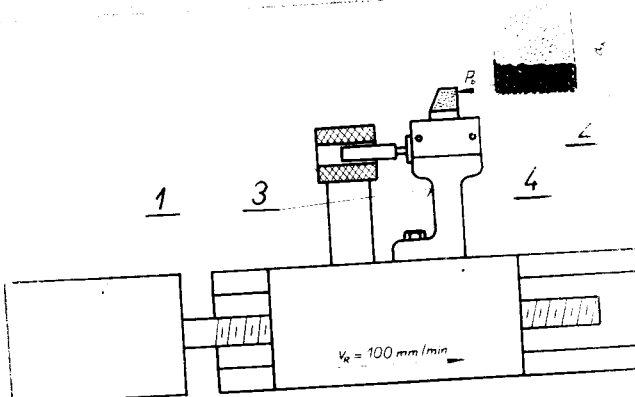
Lindnerova metoda.

Metoda vypracovaná firmou Lindner spočívala v tom, že se brusný kotouč drtí kladíkou z kalené oceli. Měřítkem tvrdosti je přitlačná síla a odpovídající hloubka vydrcení. Tento způsob se velmi blíží skutečnému namáhání zrn při broušení.

2.3.8.

Peklenikova metoda.

Brusný kotouč se rýpe dlátkem určitého průřezu. Tvrdost se posuzuje podle velikosti sily, kterou je nutno na dlátko působit./Obr.4/.



Obr.4/. Peklenikova metoda.

VŠST
LIBEREC

Určování tvrdosti brusných
kotoučů na podkladě stanovení modulu pružnosti.

DP - ST 453/66
5. LISTOPADU 1966
Vladimír Gabriel

Existuje řada dalších způsobů měření tvrdosti. Většina z nich se běžně nepoužívá. Vyvíjejí se metody nové, které by lépe vystihovaly vlastnosti brusného nástroje.

2.4.

Pojivo.

Pojivo má za úkol stmelenovat brusná zrna tak, aby bylo možno vyrábět brusné nástroje různých tvarů. Dnes se užívají pojiva:

anorganická - keramika
silikát
magnezit
organická - bakelit
guma

Asi 80% všech používaných brusných nástrojů se vyrábí s keramickým pojivem, na zbyvajících 20% se podílejí hlavně pojiva organická. Silikát a magnezit se používají jen ve vyjímečných případech.

2.4.1. Keramické pojivo.

Keramické pojivo má řadu výhod. Lze s ním pojmout všechny druhy umělého korundu a karbid křemíku. Je jediným pojivem, u kterého lze v širokých mezích regulovat tvrdost a sluch. Zatím co u organických pojiv lze sluch regulovat obtížně a vyrábějí se jen nástroje hutné, je možno s keramickými pojivy vyrobit nástroje s prakticky nulovou nasáklivostí a na druhé straně s obsahem pórů až 60% objemu. Mimo to je keramické pojivo nejlacinější a snadno dostupné. Jeho základními složkami jsou živec, kaolin a mastek. Nevýhodou je vysoká křehkost keramických brusných nástrojů, které proto ne-

nesnášeji boční tlaky a příliš vysoké obvodové rychlosti. Keramickým pojivem nelze pojít karbid bóru a diamant, protože tyto brusné materiály nesnášeji vysoké vypalovací teploty pohybující se kolem 1000 až 1300°C.

2.4.2. Bakelitové pojivo.

Bakelitové pojivo se vyznačuje velkou pevností a pružností a je proto výhodné pro výrobu tenkých brusných kotoučů, určených k rozřezávání materiálu nebo k ručnímu obrušování. Bakelitové kotouče nezahřívají takřka broušený materiál a mají částečně leštící vlastnosti. Je proto výhodné používat je v případě, že se při broušení vyvíjí značně vysoká teplota, jak je tomu u kalených ocelí, estření řezných nástrojů, broušení závitů a pod. Nedostatkem bakelitového pojiva je malá soudržnost s keramickými zrny, nízká tepelná odolnost a nedostatečná odolnost vůči některým chladicím kapalinám.

2.4.3. Gumové pojivo.

Základním materiálem pro výrobu gumového pojiva je umělý kaučuk s přísadami, zvláště sírou, která umožnuje vulkanizaci. Brusné nástroje s gumovým pojivem mají ještě větší hutnost a pružnost než bakelitové. Jejich leštící vlastnosti jsou ještě výraznější než u bakelitového pojiva a lze je vysvetlit tak, že gumové pojivo při 150°C měkkne a brusná zrna se do něj zatlačují. Proto se kotouče používají při dokončovacích operacích, při broušení kuliček valivých ložisek a pod. Lze je dobře použít jako podávací kotouče při bezhotém broušení.

VŠST LIBEREC	Určování tvrdosti brusných kotoučů na podkladě stanovení modulu pružnosti.	DP - ST 453/66 5. LISTOPADU 1966 Vladimír Gabriel
-----------------	--	---

2.4.4. Magnezitové pojivo.

Výroba brusných nástrojů s magnezitovým pojivem je velmi jednoduchá, takže lze snadno vyrábět kotouče do $\varnothing 2$ m. Magnezitové nástroje se rychle opotřebovávají a používají se proto jen na práce, které nevyžadují přesné dodržení rozměrů součástí. Výhodou nástrojů s magnezitovým pojivem je nepatrné zahřívání broušeného materiálu, které je ještě menší, než u nástrojů s bakelitovým pojivem.

2.4.5. Silikátové pojivo.

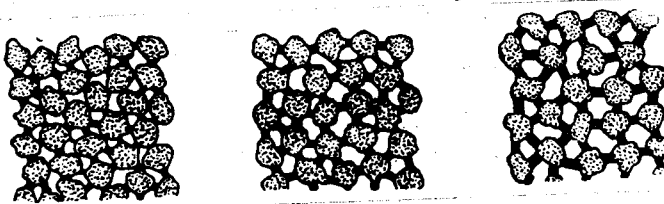
Silikátové pojivo má samo o sobě značnou pevnost, jeho soudržnost se zrnem je však malá, proto lze vyrábět jen nástroje s nižší tvrdostí. Zrna se vylupují již při nízkém opotřebení, kotouč se výborně ostří a teploty v pásmu broušení jsou poměrně nízké.

2.5. Struktura brusných nástrojů.

Zrna v brusném nástroji se navzájem stmelují pojivem. Mezi můstky pojiva a zrny zůstávají vzduchové mezery, tak zvané póry. Lze tedy strukturu charakterizovat jako vzájemný kvantitativní poměr brusných zrn, pojiva a pórů v určitém objemu brusného nástroje. / Obr. 5/ Nástroje se stejnou strukturou obzahují tedy, nezávisle na velikosti zrn a tvrdosti, přesně určené objemové procento zrna a pojiva. Velikost pórů je důležitá zvláště pro odvod třísky broušeného materiálu. Zůstávají-li třísky v pórech, zvýší se tření mezi

VŠST LIBEREC	Určování tvrdosti brusných ketoučů na podkladě stanovení modulu pružnosti.	DP-ST 453/66 5. LISTOPADU 1966 Vladimír Gabriel
-----------------	---	---

nástrojem a obrobkem, třísky se značnou tavit a úplně zanesou pracovní plochu nástroje. Strukturu brusného nástroje lze měnit změnou poměru brusných zrn a pojiva.



Obr.5. Struktura brusného nástroje.

- a/ hmotný
- b/ polohutný
- c/ pórovitý

Struktura se určuje na základě objemové nasáklivosti podle ČSN 224024 ze vzorce

$$n = \frac{G - G_0}{G - G_v} \cdot 100 [\%]$$

kde G_0 - váha suchého vzorku
 G - váha nasáklého vzorku
 G_v - váha nasáklého vzorku ve vodě

Měření nasáklivosti touto metodou je sice přesné, ale velmi zdlouhavé. Ve VÚVL bylo vyvinuto zařízení na určování struktury na základě propustnosti [7]. Pórovitost se zjišťuje na základě podtlaku vzniklého na sáváním vzduchu vývěrou přes brusný nástroj / obr.6/ .

VŠST

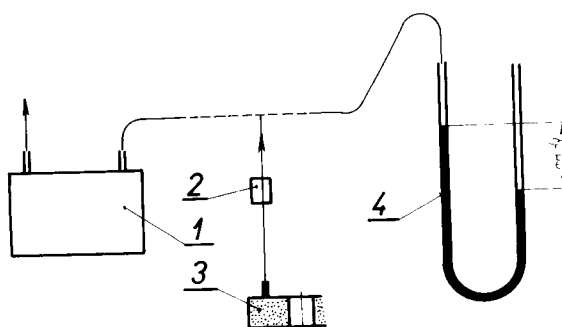
LIBEREC

Určování tvrdosti brusných
kotoučů na podkladě stanovení modulu pružnosti.

DP - ŠT 453/66

5. LISTOPADU 1966

Vladimír Gabriel



Obr.6. Zařízení na měření pórositosti.

1.vývěva, 2.ventil, 3.brusný
nástroj, 4.manometr

2.6.

Kontrola jakosti brusného kotouče zjištěním jeho vlastností při broušení.

Dosud uvedené vlastnosti brusného nástroje se vztahovaly pouze k nástroji samotnému. Ke spolehlivému ohodnocení je však nutno znát dynamické účinky brusného nástroje přímo v procesu broušení.

Ing. Říčka uvádí [7] pět základních kriterií pro posouzení výsledných vlastností brusného kotouče. Jsou to:

- 1/ výkon broušení
- 2/ poměrový ohrus
- 3/ specifický výkon broušení
- 4/ řezivost brusného nástroje
- 5/ trvanlivost brusného nástroje
a další ekonomická kriteria.

VŠST
LIBEREC

Určování tvrdosti brusných
kotoučů na podkladě stanovení modulu pružnosti.

DP - ST 453/66

5. LISTOPADU 1966

Vladimír Gabriel

- 1/ Výkon broušení Q je množství odbrouše - ného materiálu za jednotku času

$$Q = \frac{M}{T} \quad [\text{cm}^3/\text{min}]$$

kde M je množství odbroušeného materiálu
v cm^3 a
 T čas broušení v minutách.

- 2/ Poměrový obrus m vyjadřuje poměr objemu odbroušeného materiálu k objemu úbytku brusného kotouče.

$$m = \frac{M}{K}$$

kde K je úbytek brusného kotouče v cm^3
za čas T .
Hodnota $m' = \frac{1}{m}$ je specifické spotřebení kotouče.

- 3/ Specifický výkon broušení

$$q = \frac{M}{TN} \quad [\text{cm}^3/\text{min kW}]$$

kde M je celkový příkon elektromotoru brusného vřetene v kW.

- 4/ Řezivost brusného nástroje R je dána podílem rychlosti vnikání brusného kotouče v_p do materiálu a vznikajícího řezného odporu P_r .

$$R = \frac{v_p}{P_r} \quad [\mu/\text{s.kp}]$$

Podle zkoušek ve VÚOSO a VÚVL lze soudit, že se řezivost brusného kotouče mění nejen při změně jeho složení, ale je i funkcí technologických podmínek broušení.

VŠST LIBEREC	Určování tvrdosti brusných kótoučů na podkladě stanovení modulu pružnosti.	DP - ST 453/66 5. LISTOPADU 1966 Vladimír Gabriel
-----------------	--	---

- 5/ Trvanlivost brusného nástroje je dána dobou broušení, po které se projevuje větší trvalá změna řezného odporu, amplitudy chvění a drsnosti povrchu obrobku. Matematickým vyjádřením je exponenciální funkce tvaru:

$$T = \frac{C}{x_p}$$

Kriterium trvanlivosti dává zatím nejlepší předpoklad pro zjištění výsledných vlastností brusných nástrojů.

VŠST

LIBEREC

Určování tvrdosti brusných
kotoučů na podkladě stanovení modulu pružnosti.

DP - ST 453/66

5. LISTOPADU 1966

Vladimír Gabriel

3.

Vlivy působící na modul pružnosti
brusných nástrojů.

V posledních několika letech se věnuje značná pozornost modulu pružnosti brusných materiálů. Modul pružnosti se vyskytuje ve výpočtech z oblasti tepelného zpracování brusných nástrojů, zvláště při výpočtech proměnných i stálých napětí, vznikajících v kotouči vlivem tepelného zpracování i při broušení. Kromě toho lze předpokládat, že modul pružnosti má vztah k tvrdosti brusného nástroje. K podložení tohoto tvrzení má přispět i tato práce.

Vliv základních vlastností brusného nástroje na velikost modulu pružnosti byl zkoumán ve Všeňvazovém vědeckovýzkumném ústavu brusných nástrojů a broušení v SSSR / Čofnus, Papoport/. Měření se provádělo na speciálně k tomu účelu připravených vzorcích z bílého elektrokorundu s keramickým pojivem. Velikost modulu pružnosti byla sledována v závislosti na základních parametrech nástroje: pórovitosti, množství pojiva, velikosti zrna a teploty vypalování.

3.1. Vliv pórovitosti.

Vliv pórovitosti byl sledován na vzorcích s nejčastěji používaným poměrem zrna a pojiva 3 : 1. Experimentálně zjištěná závislost / obr. 7/ odpovídá teoretickým výpočtům vlivu pórovitosti na pružné vlastnosti materiálu, které provedl Mackenzie [10.] .

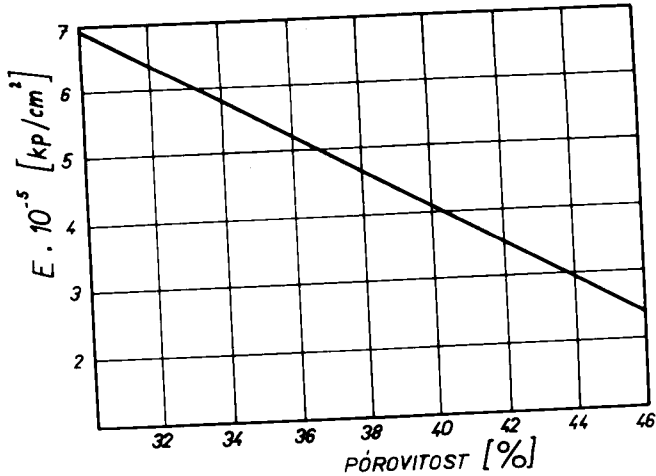
VŠST
LIBEREC

Určování tvrdosti brusných
kotoučů na podkladě stanovení
modulu pružnosti.

DP - ST 453/66

5. LISTOPADU 1966

Vladimír Gabriel



Obr.7. Závislost modulu pružnosti na
pórovitosti.

Extrapolace přímky na obr.7 na nulovou
pórovitost dá modul pružnosti systému zrno
pojive $E_0 = 17,3 \cdot 10^5$ kp/cm². Závislost modulu
pružnosti korundových brusných materiálů s ke-
ramickým pojivem je tedy přímková a lze ji vy-
jádřit rovnicí

$$\frac{E}{E_0} = 1 - 1,92 \frac{p}{100} \quad / 3.1/$$

kde E - modul pružnosti při dané pórovitosti
[kp/cm²]

E_0 - modul pružnosti při nulové pórovi-
testi [kp/cm²]

p - pórovitost [%]

S růstem pórovitosti tedy modul pružnosti
klesá.

VŠST
LIBEREC

Určování tvrdosti brusných
kotoučů na podkladě stanovení modulu pružnosti.

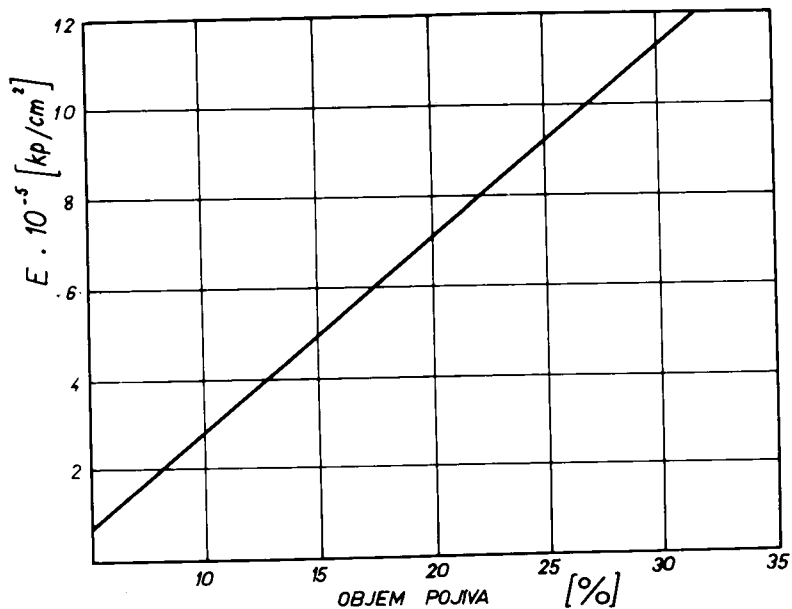
DP - ST 453/66

5. LISTOPADU 1966

Vladimír Gabriel

3.2. Vliv množství pojiva.

Měření vlivu obsahu pojiva se provádělo na vzorcích s přibližně stálým objemovým obsahem zrna. Výsledky byly přepočítány na konstantní pórovitost 32 % podle vzorce 3.1. Podle předpokladu vede zvýšení obsahu pojiva při konstantním objemu zrna k růstu modulu pružnosti.



Obr.8. Závislost modulu pružnosti na objemu pojiva při konstantním objemu zrna 48 %.

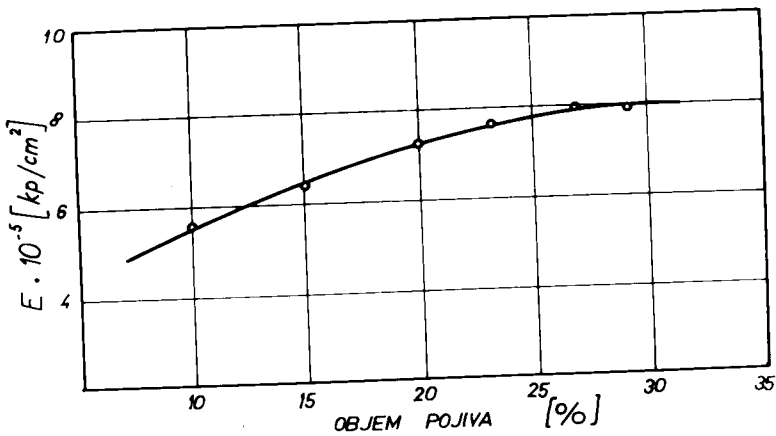
při konstantní pórovitosti / obr.9/ dochází přizvyšování obsahu pojiva v daném objemu kotouče ke snižování počtu brusných zrn. Soudržnost vsázky je do 25 % pojiva nedostatečná. V intervalu 25 - 30 % pojiva dosahuje modul pružnosti maxima a spojení jednot-

VŠST
LIBEREC

Určování tvrdesti brusných
ketoučů na podkladě stanovení modulu pružnosti.

DP - ST 453/66
5. LISTOPADU 1966
Vladimír Gabriel

livých zrn je již dostačující.



Obr.9. Závislost modulu pružnosti na objemu pojiva při konstantním objemu píska 92 %.

3.3.

Vliv velikosti zrna.

Počle výsledků provedených zkoušek nezávisí modul pružnosti příliš na velikosti zrna, jak je vidět z obr.10, kde při konstantním objemu zrna 46 % je křivka 1 pro zrno velikosti 280 a křivka 2 pro zrno 46.

3.4.

Vliv teploty vypalování.

U brusných nástrojů naprostě stejných parametrů můžeme zjistit různé hodnoty modulu pružnosti. Modul pružnosti je totiž závislý na konečné teplotě vypalování brusného nástroje.

Experimentálně získaná křivka na obr.11 ukazuje, že modul pružnosti v intervalu konečných teplot vypalování od 1200°C do 1300°C roste.

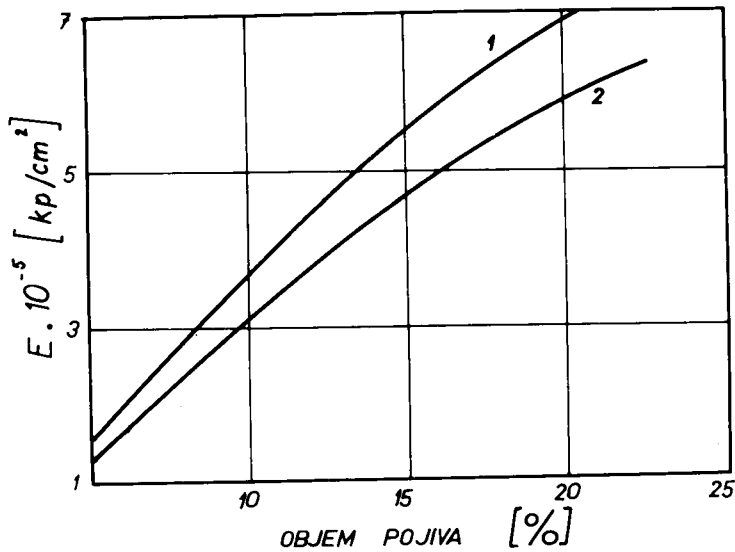
VŠST
LIBEREC

Určování tvrdosti brusných
kotoučů na podkladě stanovení
modulu pružnosti.

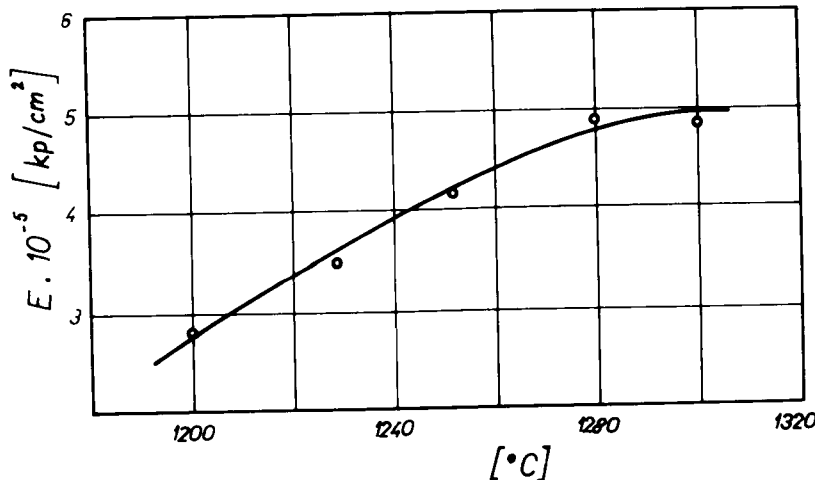
DP - ST 453/66

5. LISTOPADU 1966

Vladimír Gabriel



Obr.10. Závislost modulu pružnosti na objemu pojiva při různé velikosti zrna.
Objem zrna je konstantní.



Obr.11. Závislost modulu pružnosti na ko - nečné teplotě vypalování.

VŠST
LIBEREC

Určování tvrdosti brusných
kotoučů na podkladě stano -
vení modulu pružnosti.

DP - ST 453/66

5. LISTOPADU 1966

Vladimír Gabriel

Růst modulu pružnosti s rostoucí koneč-
nou teplotou vypalování je způsoben ~~výším~~ na -
tavením vsázky při vyšší teplotě, které ~~vede~~ k
lepšímu spojení komponent.

Uvedené závislosti byly změřeny na vzor-
cích, jejichž jednotlivé složky - brusivo i poji-
vo - byly stejné / bílý elektrokorund a keramické
pojivo / . Pro jiné druhy brusiva by byly
hodnoty modulu pružnosti samozřejmě odlišné.

VŠST
LIBEREC

Určování tvrdosti brusných
kotoučů na podkladě stanovení modulu pružnosti.

DP - ST 453/66
5. LISTOPADU 1966
Vladimír Gabriel

4.

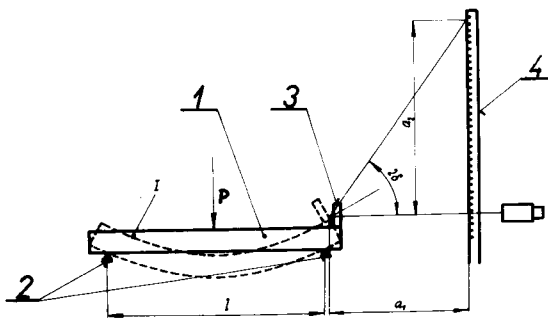
Stanovení modulu pružnosti brusných
nástrojů.

Měření modulu pružnosti brusných kotoučů je spojeno s obtížemi, které vyplývají ze struktury a materiálu nástroje. Vzhledem ke křehkosti kotouče nelze použít klasický způsob měření Martensovým průtahoměrem běžně používaný u ocelových vzorků. Jedinou vhodnou statickou metodou je metoda průhybová, kterou lze dobré použít pro brusné kamenné s konstantním průřezem. Podstatně výhodnější jsou metody dynamické, při kterých jsou napětí ve zkoušeném vzorku velmi nízká, vždy menší než $0,1 \text{ kp/mm}^2$. Je to buď měření rezonanční frekvence tyčky na jednom konci větknuté nebo uložené na dvou podporách, popř. metoda spřažených kyvadel podle Rellanda a Sérina.

4.1. Zkušební metody.

4.1.1. Metoda ohybová.

Zkušební tělesko obdélníkového průřezu je uloženo na dvou břitech a je v prostředku zatíženo vhodně zvolenou silou. Nejpřesněji měřitelnou veličinou je úhel sklonu nosníku na jedné z podpor. Na konec nosníku je připevněno zrcátko kolmo na podélnou osu nosníku /obr.12/. Zatížíme-li nosník, nakloní se zrcátko o úhel δ a světelny paprsek, kterým je osvětlena, se odkloní o 2δ . Na základě známých rozměrů kamene, měřicího zařízení a úhlu sklonu se stanoví modul pružnosti následujícím postupem:



Obr.12. Princip průhybové metody.

Na základě průhybu nosníku vlně uloženého na dvou podporách

$$y = \frac{Pl^3}{48EI} \quad /4.1/$$

bude $\operatorname{tg} \delta$ úhlu sklenu této nosníku

$$\operatorname{tg} \delta = y, = \frac{Pl^2}{16EI} \quad /4.2/$$

Pro malé δ platí

$$\operatorname{tg} 2\delta \doteq 2 \operatorname{tg} \delta .$$

Z obrázku 12 je

$$\operatorname{tg} 2\delta = \frac{a_2^2}{a_1},$$

takže potom modul pružnosti

$$E = \frac{1,5 Pl^2 a_1}{bh^3 a_2} \quad /4.3/$$

Cejchování přístroje lze provést pomocí ocelové nebo skleněné tyče.

VŠST
LIBEREC

Určování tvrdosti brusných
kotoučů na podkladě stanovení modulu pružnosti.

DP - ST 453/66

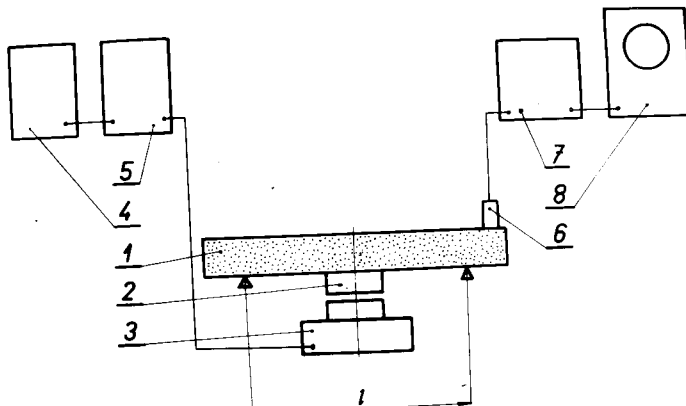
5. LISTOPADU 1966

Vladimír Gabriel

4.1.2. Metoda měření vlastní frekvence příčných kmitů.

Pro měření vlastní frekvence je brusný kámen uložen na dvou břitech. Uprostřed kamene je nalepena ocelová destička, na kterou působi střídavé elektromagnetické pole vytvářené budičem. Budič je napájen přes zesilovač z tónového generátoru. Kmity brusného kamene se snímají piezoelektrickým snímačem a vedou na obrazovku osciloskopu. V okamžiku rezonance kmitá kámen maximální amplitudou a vlastní frekvenci můžeme odečíst na stupnicí tónového generátoru.

Vzhledem k tomu, že na zkoušeném kamene je přilepena ocelová destička, je vlastní frekvence poněkud jiná než ~~naměříme~~. Při výpočtu musíme proto použít opravného koeficientu, který zjistíme cejchováním. Cejchování se provede na tyči z materiálu, jehož modul pružnosti známe.



Obr.13. Princip měření vlastní frekvence.
1. brusný kámen, 2. ocel. destička,
3. budič, 4. tón. generátor, 5 a 7.
zesilovač, 6. snímač, 8. osciloskop

VŠST
LIBEREC

Určování tvrdosti brusných
kotoučů na podkladě stanovení modulu pružnosti.

DP - ST 453/66
5. LISTOPADU 1966
Vladimír Gabriel

Podle 9 je modul pružnosti v závislosti na vlastní frekvenci

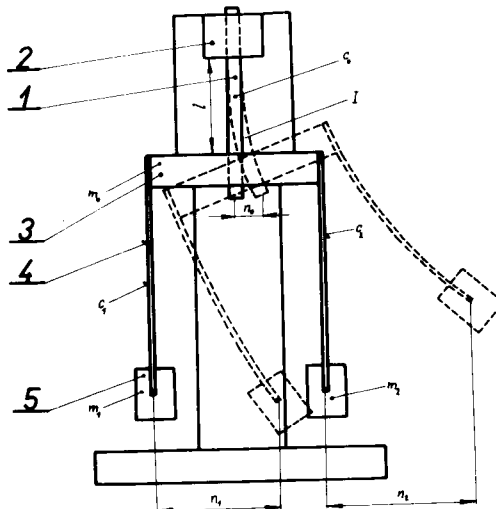
$$E = \frac{9,65 \cdot 10^{-4} f^2 l^4 p}{a^2} \quad [\text{kp/mm}^2] \quad /4.4/$$

Na tomto principu pracuje sovětský přístroj KTB-1, na němž se předem nastaví rozměry kamene, zrnitost a druh materiálu a po určení vlastní frekvence přímo odečteme modul pružnosti.

4.1.3. Dvojkypadlová metoda Rolland - Sorinova.

Autori této metody, P.Le Rolland a P.Sorin zveřejnili v roce 1934 rozsáhlou studii o měření modulu pružnosti jednoduchých součástí i složitých konstrukcí pomocí různě provedených systému dvojitých kypadel. [4]. Tohoto principu použil Porsche pro dynamické měření modulu pružnosti lapovacích kamenů [9]. Lapovací kámen se upne do pevně stojícího přípravku a na jeho druhý konec se upevní dostatečně tuhý příčník se dvěma kypadly, buď gravitačními, nebo pružinovými / obr.14 /. Vychýlime-li jedno kypadlo z rovnovážné polohy, uvede se sámecinně do pohybu i kypadlo druhé, jehož amplituda vzrůstá, zatím co se amplituda prvního kypadla zmenšuje, až se konečně kypadlo zastaví a v téže okamžiku dosáhne amplitudy druhého kypadla maximální hodnoty. Děj se opakuje cyklicky, avšak se ztrátami energie, vyvolanými jednak odporém vzduchu a tuhostí kypadla, jednak absorpcí energie ve zkoušeném kameni střídavými pružnými deformacemi, takže se cykly po určité době stávají neznamenými. Obě kypadla působí střídavě na zkoušený kámen stejnými silami. Vznikající deformace jsou velmi malé a odpovídají Hookeovu zákonu.

Perioda cyklů, to je časový interval mezi dvěma následujícími klidovými stavami téhož kyvadla, je podle Rollandových měření v přibližně lineárním vztahu k modulu pružnosti [4]. Modul pružnosti lze touto metodou zjistit s vyšší přesností než zrcátkovými průtahoměry.



Obr.14. Princip dvojkyyvadlové metody.

1. brusný kámen, 2. pevné větknutí, 3. příčník, 4. pružina, 5. kyvadlo.

Přenos energie z jednoho kyvadla na druhé je podmíněn pružnými deformacemi zkoušeného kamene, na jehož tuhosti závisí velikost periody cyklu. Základní výhoda této metody je v tom, že není třeba měřit napětí ani deformace, ale pouze čas. Naproti tomu však, protože jde o nepřímé měření, závisí jeho přesnost na zprostředkovajících podmínkách, jejichž konstanta může být funkcí mnoha činitelů.

VŠST
LIBEREC

Určování tvrdosti brusných
kotoučů na podkladě stanovení modulu pružnosti.

DP - ST 453/66

5. LISTOPADU 1966

Vladimír Gabriel

Výpočet modulu pružnosti. [9]

Pro malé výchylky platí /obr.14/

$$\begin{aligned} m_0 w_0'' + (c_0 + c_1 + c_2) w_0 - c_1 w_1 - c_2 w_2 &= 0 \\ m_1 w_1'' - c_2 w_0 + c_1 w_1 &= 0 \quad /4.5/ \\ m_2 w_2'' - c_2 w_0 + c_2 w_2 &= 0 \end{aligned}$$

Vezmeme-li v úvahu základní rovnice kmitavého pohybu

$$\begin{aligned} w_i &= A_i \cos \omega t \\ w_i' &= A_i \omega \sin \omega t \quad /4.6/ \\ w_i'' &= -A_i \omega^2 \cos \omega t \end{aligned}$$

A předpokládáme-li symetrický systém, takže platí

$$m_1 = m_2, \quad c_1 = c_2,$$

pak jsou amplitudy obou kyvadel

$$A_1 = A_2 = \frac{c_1 A_0}{c_1 - m_1 \omega^2};$$

potom z pohybových rovnic platí

$$(c_1 - m_1 \omega^2)[(c_0 + 2c_1 - m_0 \omega^2)(c_1 - m_1 \omega^2) - 2c_1^2] = 0$$

jedna ze tří možných vlastních frekvencí pak bude

$$\omega^2 = \omega_I^2 = \frac{c_1}{m_1} \quad /4.7/$$

Za předpokladu, že hmota obou kyvadel jsou mnohem menší než hmota příčníku a že platí

VŠST
LIBEREC

Určování tvrdosti brusných
kotoučů na podkladě stanovení modulu pružnosti.

DP - ST 453/66
5. LISTOPADU 1966
Vladimír Gabriel

$$\frac{c_0}{m_0} = \omega_0^2, \quad \frac{c_1}{m_1} = \omega_1^2, \quad \frac{c_1}{m_0} = \frac{c_1 m_1}{m_1 m_0}$$

dostaneme rovnici

$$(\omega^2)^2 - \omega^2 \left[\omega_0^2 + \omega_1^2 \left(1 + \frac{2m_1}{m_0} \right) \right] + \omega_0^2 \omega_1^2 = 0$$

a odtud další dvě vlastní frekvence

$$\omega_I^2 = \omega_1^2 \left[1 - \frac{2m_1 \omega_1^2}{m_0(\omega_0^2 - \omega_1^2)} \right] \quad /4.8/$$

$$\omega_{II}^2 = \omega_0^2 \left[1 + \frac{2m_1 \omega_1^2}{m_0(\omega_0^2 - \omega_1^2)} \right] \quad /4.9/$$

Protože rozdíl mezi ω_{II}^2 a ω_0^2 je velmi malý,
můžeme položit

$$\omega_{II}^2 = \omega_0^2$$

Vlastní frekvence ω_I a ω_{II} leží blízko sebe,
takže vznikají záZNĚje.

$$\omega_I = \omega_1 \left[1 - \frac{m_1 \omega_1^2}{m_0(\omega_0^2 - \omega_1^2)} \right] \quad /4.10/$$

$$\omega_{II} = \omega_1 \quad /4.11/$$

Mezifrekvenční kmitočet

/4.12/

$$\omega_s = \omega_{II} - \omega_I$$

Předpokládáme-li, že $\frac{\omega_0^2}{\omega_1^2} \gg 1$ a $\omega_s = \frac{2\pi}{T_s}$, $\omega_1 = \frac{2\pi}{T_1}$

je tuhost zkoušeného kamene

$$c_0 = \frac{4m_1 r^2 T_s}{T_1^3} \quad /4.13/$$

Pro lapovací kámen s průřezem b.h je pak
modul pružnosti

$$E = \frac{16\pi^2 m_1 l^3 T_s}{bh^3 T_1^3} \quad /4.14/$$

VŠST
LIBEREC

Určování tvrdosti brusných
kotoučů na podkladě stanovení modulu pružnosti.

DP - ST 453/66

5. LISTOPADU 1966

Vladimír Gabriel

Vzhledem k uspořádání zkušebního zařízení je zkoušený kámen zatěžován ještě vlastní váhou příčníku s kyvadly. Podle [9] nemá toto zatížení žádný vliv na periodu zázněje. Cejchování přístroje se provádí ocelovou zkušební tyčí.

Uvedené metody měření modulu pružnosti byly použity zatím pouze pro měření brusných kamenů obdélníkového průřezu nebo vzorků zvlášť pro měření připravených. Většina brusných nástrojů se však vyrábí jako ploché kotouče s kruhovým otvorem. Z toho důvodu jsme přistoupili k aplikaci Rolland - Sorinovy metody na tento tvar zkušebního tělesa.

4.2. Zdůvodnění výběru metody.

Výsledky všech tří uvedených metod jsou závislé na přesném dodržení rozměrů zkušebního tělesa. Průhybová metoda má mimo to další nevýhodu v podstatně menší přesnosti. Pursche [9] uvádí, že chyba průhybové metody je asi 5,5 % a je dána chybou zatížení, chybou vzdálenosti mezi zrcadlem a stupnicí, chybou vypočteného momentu setrvačnosti a odčítání na stupnici. Proti tomu je chyba měření vlastní frekvence pouze 2,5 % a má na ni vliv vzdálenost podpor a přesnost určení vlastní frekvence. Stejnou chybu má i dvojkypadlová metoda. Tato chyba vzniká z chyby hmoty a doby kyvu kyvadel, určení momentu setrvačnosti a doby zázněje.

Z uvedených důvodů a hlavně pro jednoduchost zkušebního zařízení, byla vybrána pro měření modulu pružnosti metoda dvojkypadlová.

4.3. Výpočet tuhosti brusného kotouče.

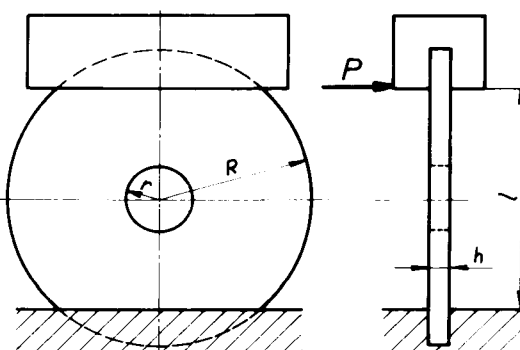
Vzorec /4.14/ udává nejen způsob výpočtu modulu pružnosti, ale zároveň možnost jeho kontroly, resp. cejchování přístroje měřením času na tyčce z materiálu o známém modulu pružnosti. Při stejných kyvadlech a stejném geometrickém tvaru zkušebního tělesa platí:

$$\frac{E}{E_0} = \frac{T_s}{T_{s0}},$$

/4.15/

kde E_0 je známý modul pružnosti a T_{s0} doba zázněje pro toto zkušební těleso. Pro praxi je nejvhodnější postupovat podle tohoto vzorce, protože tím vyloučíme nepřesnosti způsobené na př. nedokonalém větknutí.

Pro úplnost uvedeme výpočet tuhosti kruhové desky s otvorem, kterou brusný kotouč představuje.



Obr.15. Upnutí brusného kotouče ve zkušebním zařízení.

Vzhledem ke způsobu upnutí kotouče a poměrně velmi malým deformacím můžeme zanedbat trojosou napjatost, která vzniká při průhybu kruhové desky a počítat tuhost jako tuhost nosníku o nestejně šířce. Tuhostí nosníku rozumíme sílu, která způsobí při daném upnutí jednotkovou deformaci. Musíme tedy vypočítat průhyb nosníku upnutého a zatíženého podle obr.15.

Diferenciální rovnice ohybové čáry nosníku je

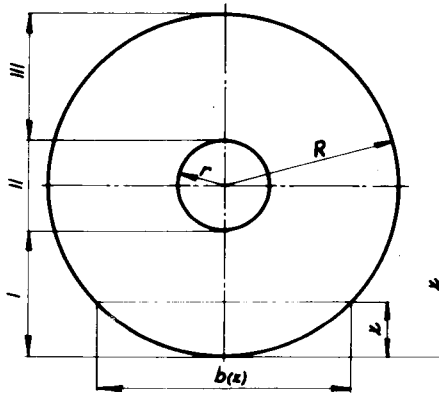
$$EI(x) \frac{d^2 y}{dx^2} = M(x) \quad /4.16/$$

Z obrázků 15 a 16

$$M(x) = P(R + \frac{1}{2} - x)$$

$$I(x) = \frac{b(x)h^3}{12}$$

Pro výpočet $b(x)$ musíme nosník rozdělit na tři části / obr.16/.



Obr.16. Výpočet šírky $b(x)$ nosníku.

VŠST
LIBEREC

Určování tvrdosti brusných
kotoučů na podkladě stanovení modulu pružnosti.

DP - ST 453/66
5. LISTOPADU 1966
Vladimír Gabriel

Pro pásmo I ; $x \in \langle 0 ; R-r \rangle$ je

$$b(x) = 2 \sqrt{R^2 - (R-x)^2} \quad /4.17/$$

Pro pásmo II ; $x \in \langle R-r ; R+r \rangle$ je

$$b(x) = 2 \left[\sqrt{R^2 - (R-x)^2} - \sqrt{r^2 - (R-x)^2} \right] \quad /4.18/$$

Pro pásmo III ; $x \in \langle R+r ; 2R \rangle$

platí vztah 4,17

Dosadíme-li do rovnice ohybové čáry za $M(x)$, $I(x)$, $b(x)$ dostaneme v pásmu I

$$\frac{d^2 y}{dx^2} = \frac{6P}{Eh^3} \frac{R + \frac{1}{2} - x}{\sqrt{R^2 - (R-x)^2}}$$

$$\text{Označíme } \frac{6P}{Eh^3} = B .$$

Po integraci

$$\frac{dy}{dx} = B \left[\frac{1}{2} \arcsin \frac{x-R}{R} + \sqrt{2Rx-x^2} + c_1 \right]$$

$$y_1 = B \left[\frac{1}{2} (R^2 - Rl + xl) \arcsin \frac{x-R}{R} + \right. \\ \left. + \frac{1}{2} (x+l-R) \sqrt{2Rx-x^2} + c_1 x + c_2 \right]$$

Z počátečních podmínek

$$\text{pro } x = R - \frac{l}{2} \quad \text{je} \quad \frac{dy}{dx} = 0 \quad a$$

$$\text{pro } x = R - \frac{l}{2} \quad \text{je} \quad y_1 = 0$$

Dostaneme

$$c_1 = \frac{1}{2} \arcsin \frac{\frac{l}{2}}{2R} - \sqrt{R^2 - \frac{l^2}{4}} \quad a$$

$$c_2 = (R^2 - Rl) \arcsin \frac{1}{2R} + (2R - \frac{3l}{2}) \sqrt{R^2 - \frac{l^2}{4}}$$

V pásmu II dostaneme po dosazení do rovnice
ohybové čáry

$$\frac{d^2 y(l)}{dx^2} = B \frac{R + \frac{1}{2} - x}{\sqrt{R^2 - (R-x)^2} - \sqrt{r^2 - (R-x)^2}}$$

Z toho po integraci

$$\begin{aligned} \frac{dy(l)}{dx} &= B \left[\frac{1}{3(R^2 - r^2)} \left\{ \sqrt{[R^2 - (R-r)^2]^3} + \sqrt{[r^2 - (R-x)^2]^3} \right\} - \right. \\ &\quad - \frac{1}{4(R^2 - r^2)} \left\{ (R-x) \sqrt{R^2 - (R-x)^2} + R^2 \arcsin \frac{R-x}{R} + \right. \\ &\quad \left. \left. + (R-x) \sqrt{r^2 - (R-x)^2} + r^2 \arcsin \frac{R-x}{r} \right\} + c_3 \right] \\ y(l) &= B \left[\frac{(-1)}{12(R^2 - r^2)} \left\{ \sqrt{R^2 - (R-x)^2} \left(\frac{3R^2(R-x)}{2} - 1R^2 \right) + \right. \right. \\ &\quad + \sqrt{r^2 - (R-x)^2} \left(\frac{3r^2(R-x)}{2} - 1R^2 \right) + \\ &\quad + (R + 1 - x) \left[\sqrt{[R^2 - (R-x)^2]^3} + \sqrt{[r^2 - (R-x)^2]^3} \right] + \\ &\quad + \left(\frac{3R^4}{2} - 1R^3 + 1R^2 x \right) \arcsin \frac{R-x}{R} + \\ &\quad \left. \left. + \left(\frac{3r^4}{2} - 1R^3 + 1R^2 x \right) \arcsin \frac{R-x}{r} \right\} + c_3 x + c_4 \right] \end{aligned}$$

Z počátečních podmínek

$$\text{pro } x = R - r \quad \text{je} \quad \frac{dy(l)}{dx} = \frac{dy(l)}{dx} \quad a$$

$$\text{pro } x = R - r \quad \text{je} \quad y(l) = y(l)$$

dostaneme

$$c_3 = - \frac{1}{3(R^2 - r^2)} \sqrt{(R^2 - r^2)^3} + \left(\frac{1r}{4(R^2 - r^2)} + 1 \right) \sqrt{R^2 - r^2} + \\ + \left[\frac{1R^2}{4(R^2 - r^2)} - \frac{1}{2} \right] \arcsin \frac{r}{R} + \frac{1}{2} \arcsin \frac{1}{2R} +$$

$$+ \frac{1r^2\pi}{8(R^2 - r^2)} - \sqrt{R^2 - \frac{1^2}{4}}$$

$$c_4 = \left[\frac{R^2}{12(R^2 - r^2)} \left(\frac{3r}{2} - 1 \right) - \frac{1r}{4(R+r)} - R + \frac{r}{2} + \frac{1}{2} \right] \sqrt{R^2 - r^2} + \\ + \frac{4R - 3r + 1}{12(R^2 - r^2)} \sqrt{(R^2 - r^2)^3} + \\ + \left[\frac{\frac{3}{2}R^4 - 1R^3}{12(R^2 - r^2)} + \frac{1R - R^2}{2} \right] \arcsin \frac{r}{R} + \\ + (R^2 - Rl) \arcsin \frac{1}{2R} + (2R - \frac{3}{2}l) \sqrt{R^2 - \frac{1^2}{4}} - \\ - \frac{\pi r^2 l}{8(R+r)} + \frac{\pi}{24(R^2 - r^2)} \left(\frac{3r^4}{2} - 1R^2 r \right)$$

V pásmu III dostaneme po dosazení do diferenciální rovnice ohybové čáry

$$\frac{d^2 y(x)}{dx^2} = B \frac{\frac{1}{R} + \frac{1}{2} - x}{\sqrt{R^2 - (R-x)^2}}$$

Po integraci

$$\frac{dy(x)}{dx} = B \left[\frac{1}{2} \arcsin \frac{x-R}{R} + \sqrt{2Rx - x^2} + c_5 \right]$$

VŠST
LIBEREC

Určování tvrdosti brusných
kotoučů na podkladě stanovení
modulu pružnosti.

DP - ST 455/66

5. LISTOPADU 1966

Vladimír Gabriel

$$y_0 = B \left[\frac{1}{2} (R^2 - Rl + xl) \arcsin \frac{R-x}{R} + \right. \\ \left. + \frac{1}{2} (x + l - R) \sqrt{2Rx - x^2 + c_5 x + c_6} \right]$$

Z počátečních podmínek

$$\text{pro } x = R + r \text{ je } \frac{dy_0}{dx} = \frac{dy_0}{dx} = a$$

$$\text{pro } x = R + r \text{ je } y_0 = y_0$$

dostaneme

$$c_5 = \left[\frac{1(2R^2+r^2)}{4(R^2-r^2)} - 1 \right] \arcsin \frac{r}{R} + \frac{1r}{2(R^2-r^2)} \sqrt{R^2-r^2} + \\ + \frac{1}{2} \arcsin \frac{1}{2R} + \frac{\pi r^2 l}{8(R^2-r^2)} - \sqrt{R^2 - \frac{l^2}{4}}$$

$$c_6 = \left[\frac{1}{12(R^2-r^2)} (3R^4 - 3lr^3 - 5rlR^2 - 3Rlr^2 - 7R^3l) + \right. \\ \left. + l(R+r) + \frac{1R^2}{4(R-r)} \right] \arcsin \frac{r}{R} + R(R-l) \arcsin \frac{l}{2R} + \\ + \left[r - \frac{1r}{4(R-r)} - \frac{1r}{R+r} + \frac{3R^2-2R^2l}{12(R^2-r^2)} \right] \sqrt{R^2-r^2} + \\ + \frac{2R-r}{6(R^2-r^2)} - \frac{1}{3(R-r)} \left[(R^2-r^2)^3 + \left(2R-\frac{3l}{2}\right) \sqrt{R^2-\frac{l^2}{4}} \right] + \\ + \frac{\pi r^4}{8(R^2-r^2)} - \frac{\pi r^2 l}{8(R+r)}$$

Pro výpočet tuhosti potřebujeme znát průhýb
v místě

$$x = R + \frac{l}{2}$$

VŠST

LIBEREC

Určování tvrdosti brusných
kotoučů na podkladě stanovení modulu pružnosti.

DP - ST 453/66

5. LISTOPADU 1966

Vladimír Gabriel

Po dosazení do výrazu pro $y(\bar{x})$ dostaneme

$$\begin{aligned}
 y(\bar{x}) = & \frac{6P}{Eh^3} \left\{ \left(\frac{3R^2}{2} - \frac{1R}{2} \right) \arcsin \frac{1}{2R} + \left(R - \frac{51}{4} \right) \sqrt{R^2 - \frac{1^2}{4}} + \right. \\
 & + \left[\frac{1}{24(R^2 - r^2)} (6R^6 - 2R^3l^2 + 6R^2l^4 - 10rlR^4 - 6r^3l - 3r^2l^2) + \right. \\
 & + \left. \frac{1R^2}{4(R-r)} - \frac{l^2}{2} + lr \right] \arcsin \frac{r}{R} + \\
 & + \left[\frac{1}{12(R^2 - r^2)} (3R^2r - 2R^2l + 3rl^2) + r \right] \sqrt{R^2 - r^2} + \\
 & + \frac{1}{16(R^2 - r^2)} (\pi r^2 l^2 + 2\pi r^4 + 2\pi r^3 l) + \\
 & \left. + \frac{r}{2(R^2 - r^2)} \sqrt{(R^2 - r^2)^3} \right\} \quad /4.19/
 \end{aligned}$$

Výraz ve složené závorce označíme K, potom tuhost

$$c_s = \frac{P}{y(\bar{x})} = \frac{Eh^3}{6K}$$

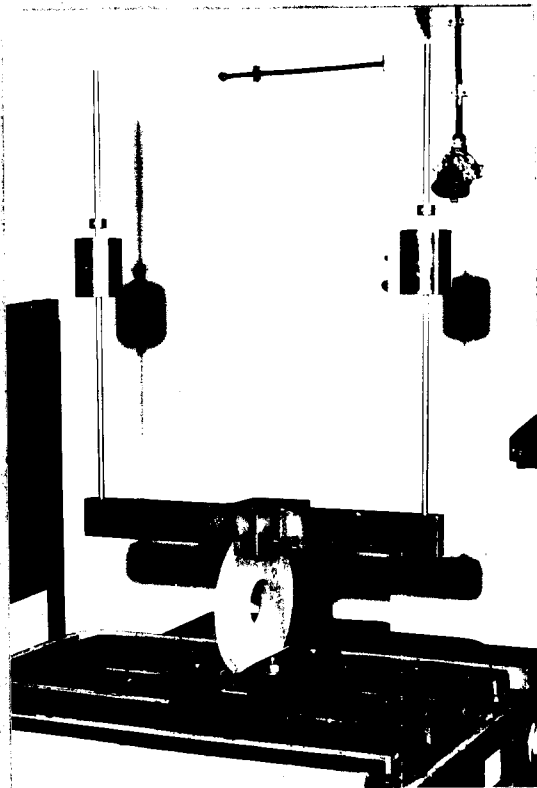
Dosazením do vztahu 4.13 dostaneme konečně

$$E = \frac{6K}{h^3} \frac{4m_1 r^2 T_A}{T_A^3} \quad /4.20/$$

5. Vlastní měření.

5.1. Měřicí zařízení.

Měřicí přístroj pro určování modulu metodou Rolland - Sorinovou byl vyroben v dílnách školy podle výkresu DP-453/66-01 /obr.17/. Velikost zařízení byla přizpůsobena kotoučům rozměru 250 x 20 x 76. V základové desce je kotouč upnut příložkou a třemi šrouby. Na kotouči je nasazen příčník a je k němu připevněn příložkou a dvěma šrouby. Způsob upnutí kotouče je zřejmý z obr.18.



Obr.17. Měřicí zařízení .

VŠST
LIBEREC

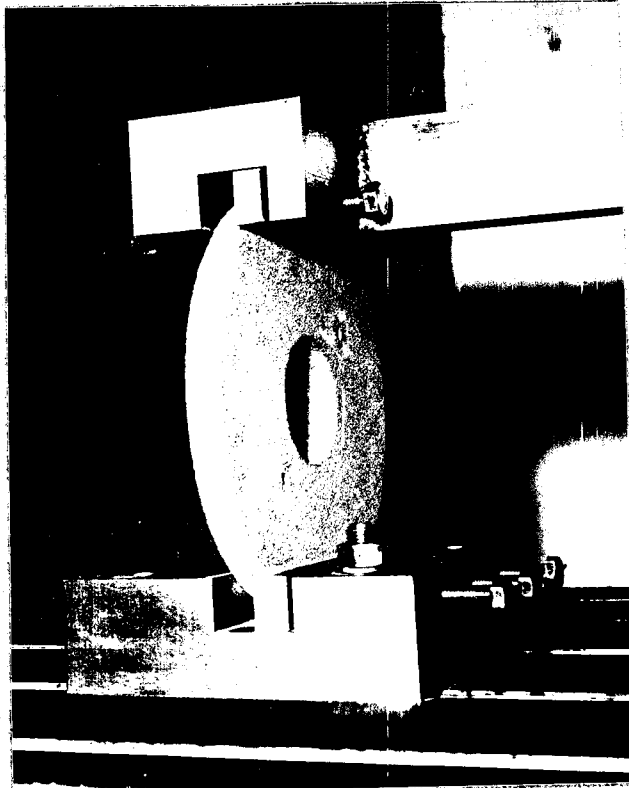
Určování tvrdosti brusných
kotoučů na podkladě stano-
vení modulu pružnosti.

DP - ST 453/66
5. LISTOPADU 1966
Vladimír Gabriel

Do příčníku jsou vsazena dvě stejná kyvadla



tvořená pružinou kruhového průřezu
3652 g. Shodnosti doby kyvu obou kyvadel se do-
sahuje posuvem pomocných hmot o váze 62 g.

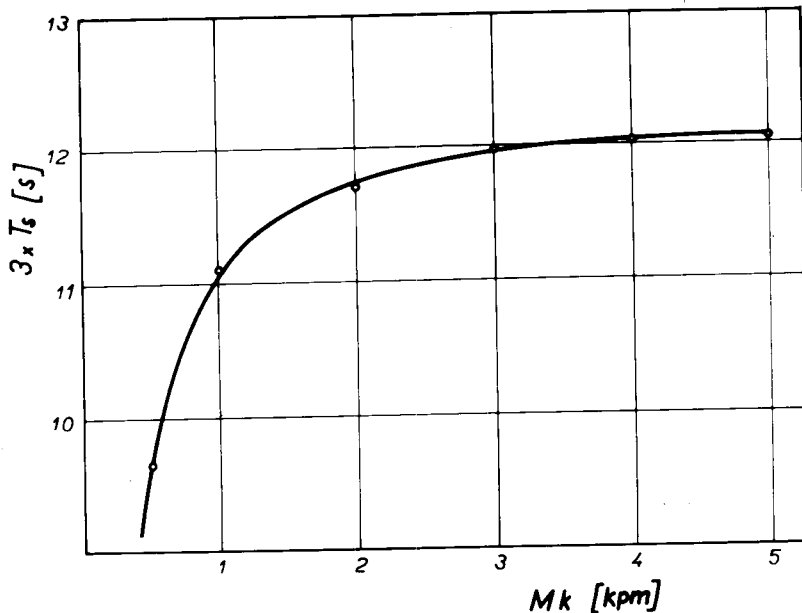


Obr.18. Detail upnutí kotouče .

Vlastní měření modulu pružnosti je pře-
vedeno na měření doby zázněje. Rukou se rozkmi-
tá jedno kyvadlo v rovině procházející osou ob-
ou kyvadel a měří se čas od zastavení jednoho
z kyvadel do následujícího zastavení téhož ky-
vadla, nebo pro zvýšení přesnosti jeho násobky.
Pro měření času bylo použito elektrických sto-
pek Křížík, na kterých je možno odečítat s přes-
ností na setinu vteřiny. Spouštěním a zastavová-
ním stopek, které se provádí ručně mžikovým spí-

načem v okamžiku zastavení sledovaného kyvadla, se vnáší do měření chyba. Přesto není rozptyl měření prováděných na témže kotouči na jedno upnutí větší než 2 %.

Doba trvání zázněje je závislá na délce l /obr.15/. Protože nemůže být splněn požadavek dokonalého veknutí kotouče s reakcí v jediném průřezu, je délka l funkci utažení upínacích šroubů. Bylo proto použito torzního momentového klíče a pro kotouč č.1 byla zjištěna závislost trvání zázněje na utažení šroubů; obr.19 .



Obr.19. Závislost délky zázněje na utažení upínacích šroubů pro brusný kotouč.

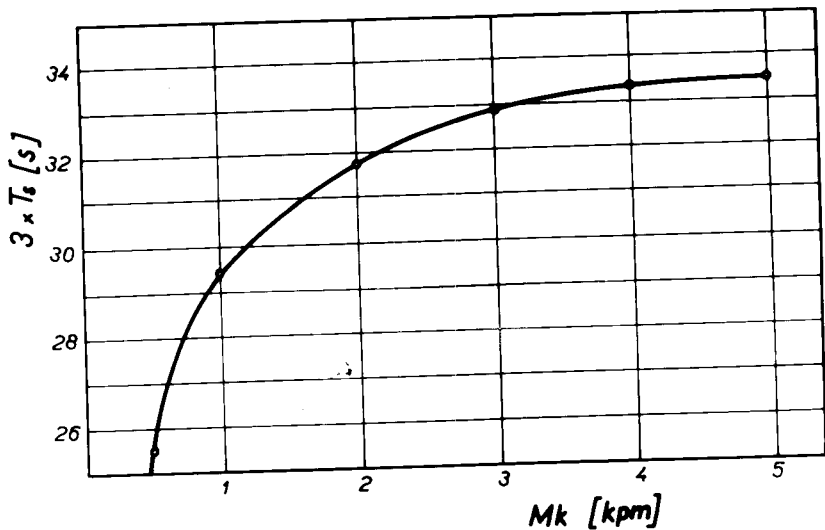
Stejná charakteristika byla změřena i pro ocelový cejchovací kotouč / obr.20/.

VŠST

Určování tvrdosti brusných
kotoučů na podkladě stano-

DP - ST 453/66

5. LISTOPADU 1966



Obr.20. Závislost délky zázněje na utažení upínacích šroubů pro ocelový cej - chovací kotouč.

V oblasti kolm utahovacího momentu 4 kpm je již charakteristika plochá a chyba v utažení šroubů způsobí jen nepatrnou změnu v době trvání zázněje. Při všech dalších měřeních se proto utahovaly upínací šrouby momentem 4 kpm.

5.1.1. Oscilografický záznam průběhu zázněje.

Pro přesné zjištění průběhu oscilaci kyvadla měřicího zařízení byl jejich průběh zachycen filmovou kamerou se stínítka osciloskopu. Schema zařízení pro snímání oscilací kyvadla je na obr.21. Poblíž konce kyvadla je umístěn indukční diferenciální snímač, který je připojen ke střídavé napá-

VŠST
LIBEREC

Určování tvrdesti brusných
kotoučů na podkladě stanove-
ní modulu pružnosti.

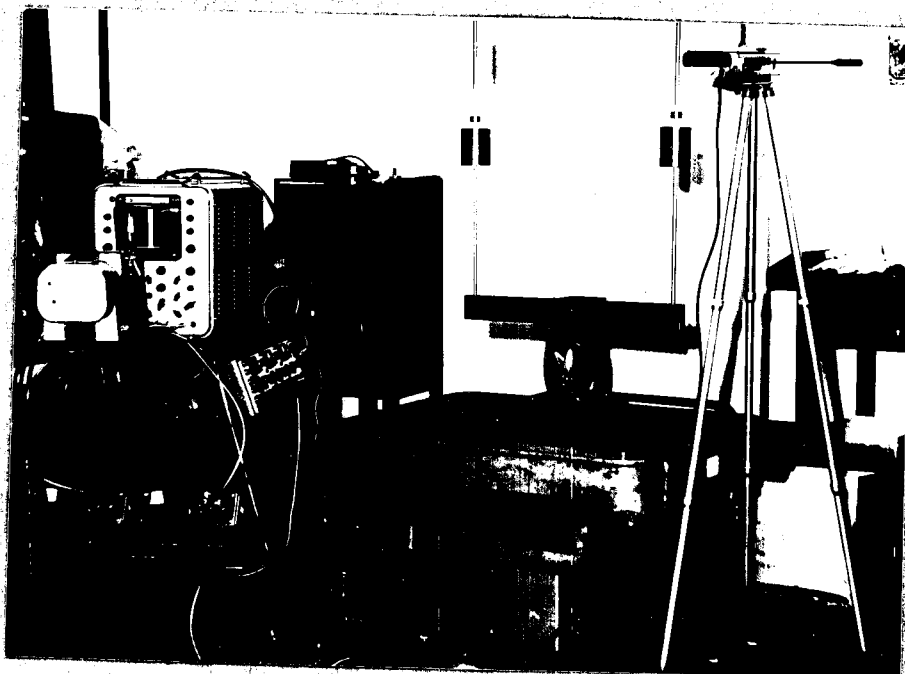
DP - ST 453/66

5. LISTOPADU 1966

Vladimír Gabriel

jenému můstku TDA - 3 . Výstupní napětí
můstku se zobrazí na stínítku osciloskopu,
odkud je snímáno filmovou kamerou. Celkový
pohled na měřicí aparaturu je na obr.22.

Obr.21. Schema snímání kmitů kyvadla.



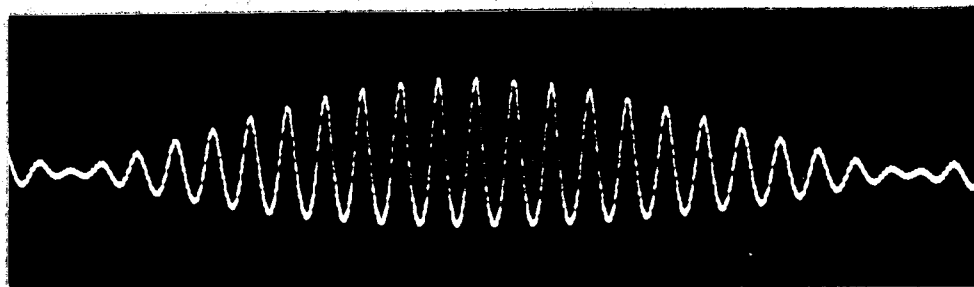
Obr.22. Pohled na měřicí aparaturu.

VŠST
LIBEREC

Určování tvrdosti brusných
kotoučů na podkladě stanovení
modulu pružnosti.

DP - ST 453/66
5. LISTOPADU 1966
Vladimír Gabriel

Příklad záznamu pro kotouč č.13 ukazuje, že na vlastní frekvenci kyvadla, která je 4,75 Hz, je namodulována frekvence záznamu /obr.23/. Posun filmu se stanovil na 10 mm/s. Čas odpovídající periodě záznamu se odměřil z filmu na profilprojektoru.



Obr.23. Záznam periody záznamu.

5.2. Výběr vzorků.

Brusné kotouče pro zkoušky dodal n.p. Karborundum Benátky n.Jiz. Bylo vybráno 11 kotoučů 250 x 20 x 76 A9946L8V a pro porovnání 6 kotoučů odlišného zrnění, struktury i materiálu brusných zrn /tab.I/. Všechny kotouče jsou s keramickým pojivem, které je nejběžnější.

Na kotouči č.3 bylo provedeno měření nasáklivosti podle ČSN 224024. Tato zkouška je destruktivní; kotouč byl rozbit a tím vyřazen z dalších měření.

5.3. Měření vzorků metodou ZeisseMackensenovou.

Toto měření je běžně používáno v n.p. Karborundum pro výstupní kontrolu brusných nástrojů. Provádí se na přístroji TF21-1 /obr.2/

VŠST LIBEREC	Určování tvrdosti brusných kotoučů na podkladě stanovení modulu pružnosti.	DP-ST 453/66 5. LISTOPADU 1966 Vladimír Gabriel
-----------------	--	---

sovětské výroby pracujícím na Zeiss-Macken - senově principu. Přístroj se cejchuje změnou průřezu trysky tak, aby při obsahu komůrky 28 cm^3 a tlaku vzduchu 1,5 atm vyhloubil ve skleněné desce důlek hloubky 2,13 mm. Po o - cejchování bylo provedeno měření všech ko - toučů s vyjímkou kotouče č. 12, který má vysokou póravitost a hodnoty naměřené Zeiss-Mac - kensenovým způsobem neodpovídají vlastnostem kotouče. Každý kotouč byl změřen ve 4 bodech, aby se aspoň částečně vyloučila heterogenita složení. Výsledky měření jsou uvedeny v tabu - ce I.

5.4.

Měření vzorků metodou Rolland-Sorinovou.

Měření modulu pružnosti se provádělo způsobem popsáným v 5.1. Každý kotouč byl měřen na jedno upnutí 5krát. Abi se ověřila re - produkativnost měřicí metody, bylo celé měření čtyřikrát opakováno, z toho jednou byl průběh oscilací kyvadla filmován.

Protože měřené kotouče nebyly přesně stejněho průměru a tloušťky jsou výsledné průměrné hodnoty přeypočteny podle vzorce 4.19 na velikost kotouče $250 \times 20,4 \times 76$. Cejchovací ocelový kotouč byl vyroben přímo v těchto rozměrech.

Při všech měřeních se postupovalo tak, že byla určena trojnásobná doba zázněje, kte - rá je také uvedena v tabulkách. Z těchto hod - not byly sestrojeny diagramy I - III, kde je spolu s trojnásobnou dobou zázněje $3 \times T_s$ vy - nesen i modul pružnosti určený cejchováním pomocí ocelového cejchovacího kotouče, jehož modul pružnosti je $E = 2,1 \cdot 10^6 \text{ kp/cm}^2$.

VŠST
LIBEREC

Určování tvrdosti brusných
kotoučů na podkladě stanovení
modulu pružnosti.

DP - ST 453/66

5. LISTOPADU 1966

Vladimír Gabriel

Tabulka č.I.

čís. kot.	Typ	Zeiss-Mackensen				
		1	2	3	4	Ø
1	A9946L8V	3,1	3,3	2,9	2,8	3,025
2		2,9	3,1	2,9	2,8	2,95
3		2,8	2,9	2,9	3,0	2,90
4		2,8	2,9	2,8	3,1	2,90
5		2,9	3,0	3,1	3,0	3,00
6		3,1	2,8	2,7	3,0	2,90
7		3,1	3,0	3,2	3,1	3,10
8		2,8	2,8	2,6	2,7	2,73
9		2,8	3,1	3,1	2,7	2,92
10		2,8	3,0	2,9	3,0	2,92
11		3,3	3,1	3,0	3,1	3,13
12	A9946M12V	neměřen				
13	A9960M8V	2,8	2,8	2,7	2,6	2,72
14	A99100N7V	3,1	3,3	3,1	3,0	3,12
15	A964606V	2,0	2,0	2,1	2,0	2,025
16	C4846K9V	3,7	3,6	3,7	3,5	3,60
17	C4960J9V	4,1	4,1	3,8	3,9	3,98

VŠST LIBEREC	Určování tvrdosti brusných kotoučů na podkladě stanovení modulu pružnosti.	DP - ST 453/66 5. LISTOPADU 1966 Vladimír Gabriel
-----------------	--	---

Tabulka č.II.

/ 1.měření; trojnásobná doba trvání zázněje
ve vteřinách/

čís. kot.	1	2	3	4	5	Ø
1	11,82	11,80	11,68	11,69	11,75	11,750
2	11,63	11,46	11,66	11,64	11,49	11,576
4	12,12	12,21	12,00	12,02	12,07	12,084
5	12,07	11,89	11,92	12,00	11,94	11,964
6	11,78	11,87	11,87	11,87	11,85	11,848
7	11,16	11,24	11,20	11,19	11,20	11,198
8	11,97	12,03	12,03	11,95	12,05	12,006
9	11,54	11,58	11,57	11,53	11,59	11,562
10	11,84	11,79	11,82	11,80	11,89	11,828
11	11,47	11,50	11,33	11,36	11,40	11,412
12	4,67	4,73	4,80	4,75	4,79	4,748
13	14,03	14,00	14,20	13,93	14,15	14,062
14	12,11	12,30	12,04	12,11	12,13	12,138
15	15,12	14,99	15,06	14,92	14,93	15,004
16	10,29	10,39	10,32	10,31	10,40	10,342
17	9,90	9,78	9,64	9,85	9,78	9,790

VŠST
LIBEREC

Určování tvrdosti brusných
kotoučů na podkladě stano-
vení modulu pružnosti.

DP - ST 453/66

5. LISTOPADU 1966

Vladimír Gabriel

Tabulka č.III.

/ 2.měření; trojnásobná doba trvání zázněje
ve vteřinách/

čís. kot.	1	2	3	4	5	ø
1	11,98	12,08	12,11	12,11	11,92	12,040
2	11,62	11,74	11,88	11,66	11,78	11,736
4	11,99	12,01	11,98	11,97	11,92	11,974
5	12,09	11,93	12.08	12,05	11,90	12,010
6	12,27	12,14	12,23	12,27	12,24	12,230
7	11,29	11,30	11,30	11,39	11,36	11,328
8	12,08	12,05	12,04	12,03	11,99	12,038
9	11,77	11,85	11,87	11,73	11,77	11,798
10	11,80	11,90	12,06	11,99	12,00	11,950
11	11,42	11,40	11,31	11,32	11,29	11,348
12	4,98	4,98	5,05	4,99	5,04	5,008
13	14,43	14,33	14.32	14,28	14,32	14,336
14	12,28	12,18	12,22	12,22	12,08	12,196
15	15,30	15,24	15,18	15,23	15,35	15,260
16	10,20	10,14	10,07	10,12	10,21	10,148
17	9,54	9,69	9,78	9,65	9,75	9,682

VŠST
LIBEREC

Určování tvrdosti brusných
kotoučů na podkladě stanovení modulu pružnosti.

DP -ST 453/66
5. LISTOPADU 1966
Vladimír Gabriel

Tabulka č. IV.

/ 3.měření; trojnásobná doba trvání zázněje
ve vteřinách/

čís. kot.	1	2	3	4	5	Ø
1	11,86	11,85	11,97	11,96	11,99	11,926
2	11,60	11,74	11,77	11,80	11,81	11,764
4	12,15	12,32	12,20	12,28	12,26	12,252
5	12,14	12,12	12,07	12,09	12,12	12,108
6	11,96	11,94	12,02	12,11	12,11	12,026
7	11,10	11,15	11,21	11,09	11,10	11,130
8	11,84	11,86	11,92	11,92	11,89	11,886
9	11,69	11,74	11,75	11,65	11,65	11,696
10	11,84	11,80	11,76	11,80	11,87	11,834
11	11,36	11,36	11,29	11,30	11,32	11,326
12	4,63	4,80	4,70	4,82	4,82	4,754
13	14,16	14,32	14,10	10,22	14,21	14,202
14	12,44	12,24	12,38	12,25	12,23	12,308
15	15,09	15,13	15,18	15,10	15,29	15,158
16	10,35	10,30	10,32	10,38	10,28	10,326
17	9,67	9,49	9,67	9,57	9,64	9,608
18	34,85	34,97	34,12	34,48	34,35	34,554

VŠST
LIBEREC

Určování tvrdosti brusných
kotoučů na podkladě stanovení
modulu pružnosti.

DP - ST 453/66

5. LISTOPADU 1966

Vladimír Gabriel

Tabulka č.V.

/Přehled průměrných hodnot z tabulek
II až IV a z filmového záznamu/

čís. kot.	1	2	3	4 z filmu	$\bar{\phi}$	$\bar{\phi}'$
1	11,75	12,04	11,93	12,08	12,03	11,86
2	11,57	11,74	11,76	-	11,69	12,22
4	12,08	11,97	12,25	12,12	12,14	11,97
5	11,96	12,01	12,10	12,28	12,09	12,09
6	11,85	12,23	12,03	12,51	12,15	12,15
7	11,20	11,33	11,13	11,55	11,30	11,30
8	12,01	12,03	11,89	12,60	12,13	12,49
9	11,56	11,79	11,70	11,90	11,73	12,27
10	11,83	11,95	11,83	11,98	11,90	12,07
11	11,41	11,35	11,33	11,50	11,37	11,26
12	4,75	5,01	4,75	4,89	4,85	4,57
13	14,06	14,34	14,20	14,15	14,19	14,61
14	12,14	12,20	12,31	12,21	12,21	11,68
15	15,00	15,26	15,16	14,59	15,00	14,78
16	10,34	10,15	10,33	10,84	10,50	10,50
17	9,79	9,68	9,61	9,58	9,67	9,67
18	-	33,09	34,55	32,50	33,05	33,05

$\bar{\phi}$ - průměr všech měření

$\bar{\phi}'$ - přepočteno podle rozměrů každého kotouče
na kotouč 250 x 20,4 x 76

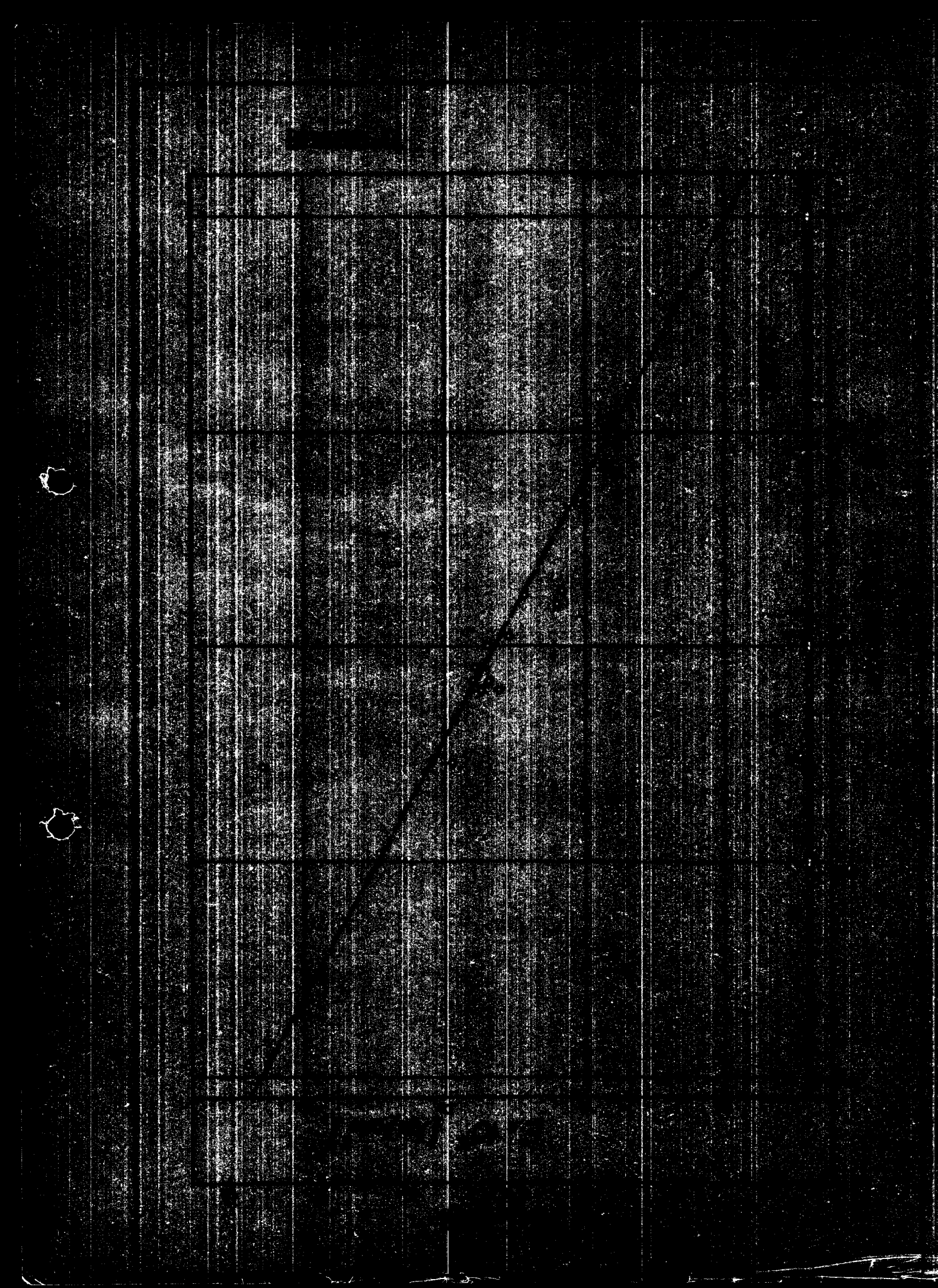


Diagram I.

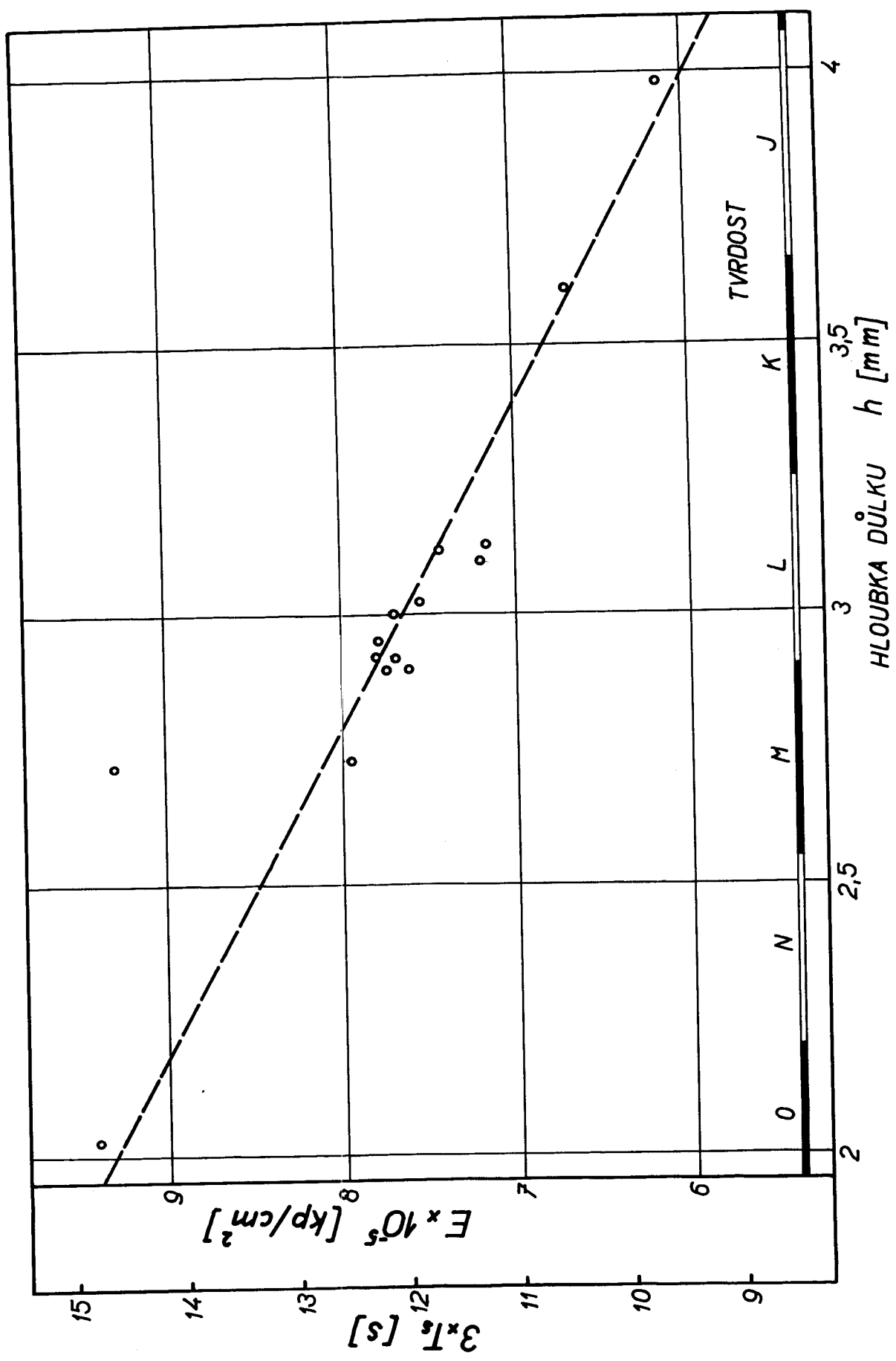


Diagram II.

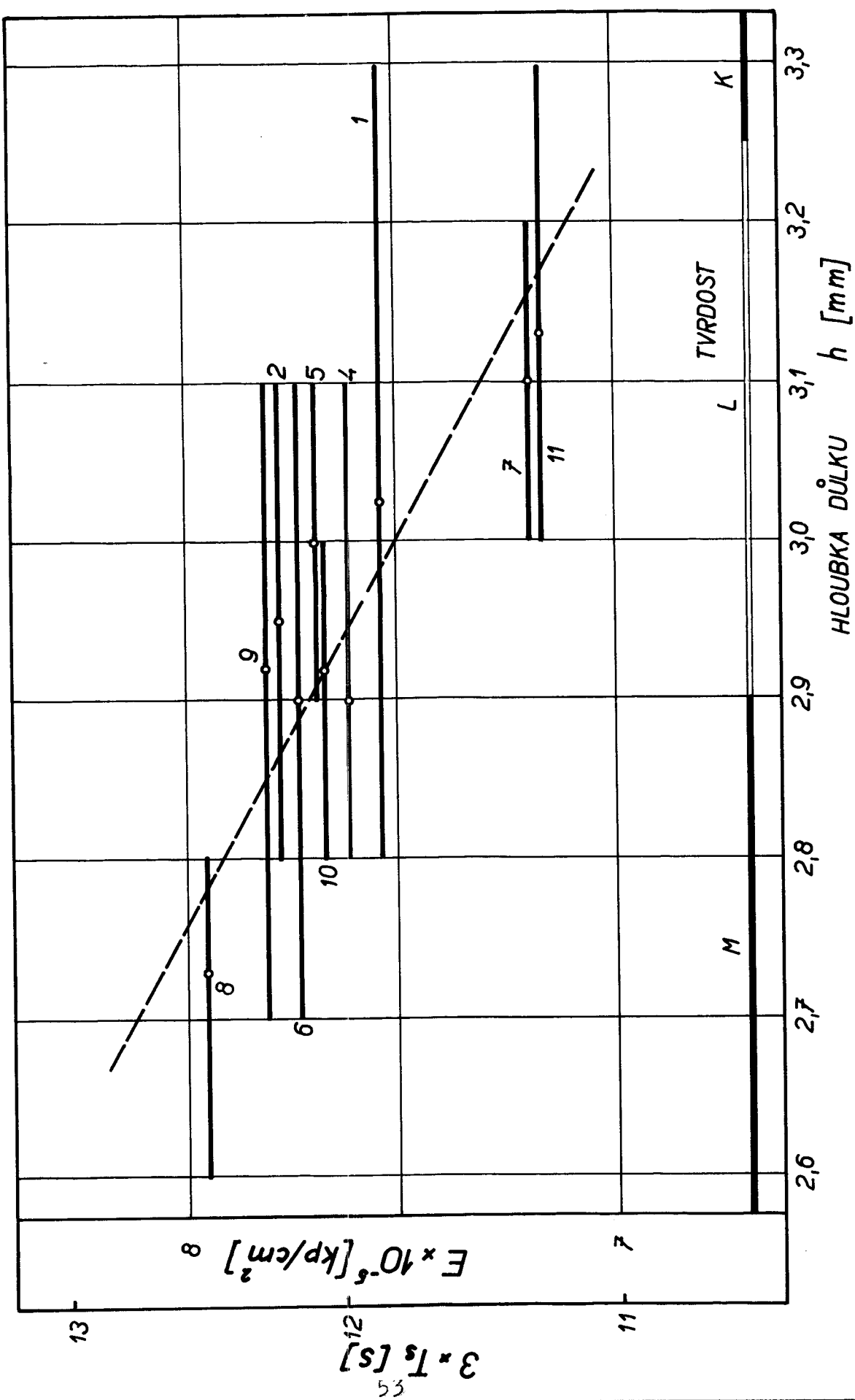
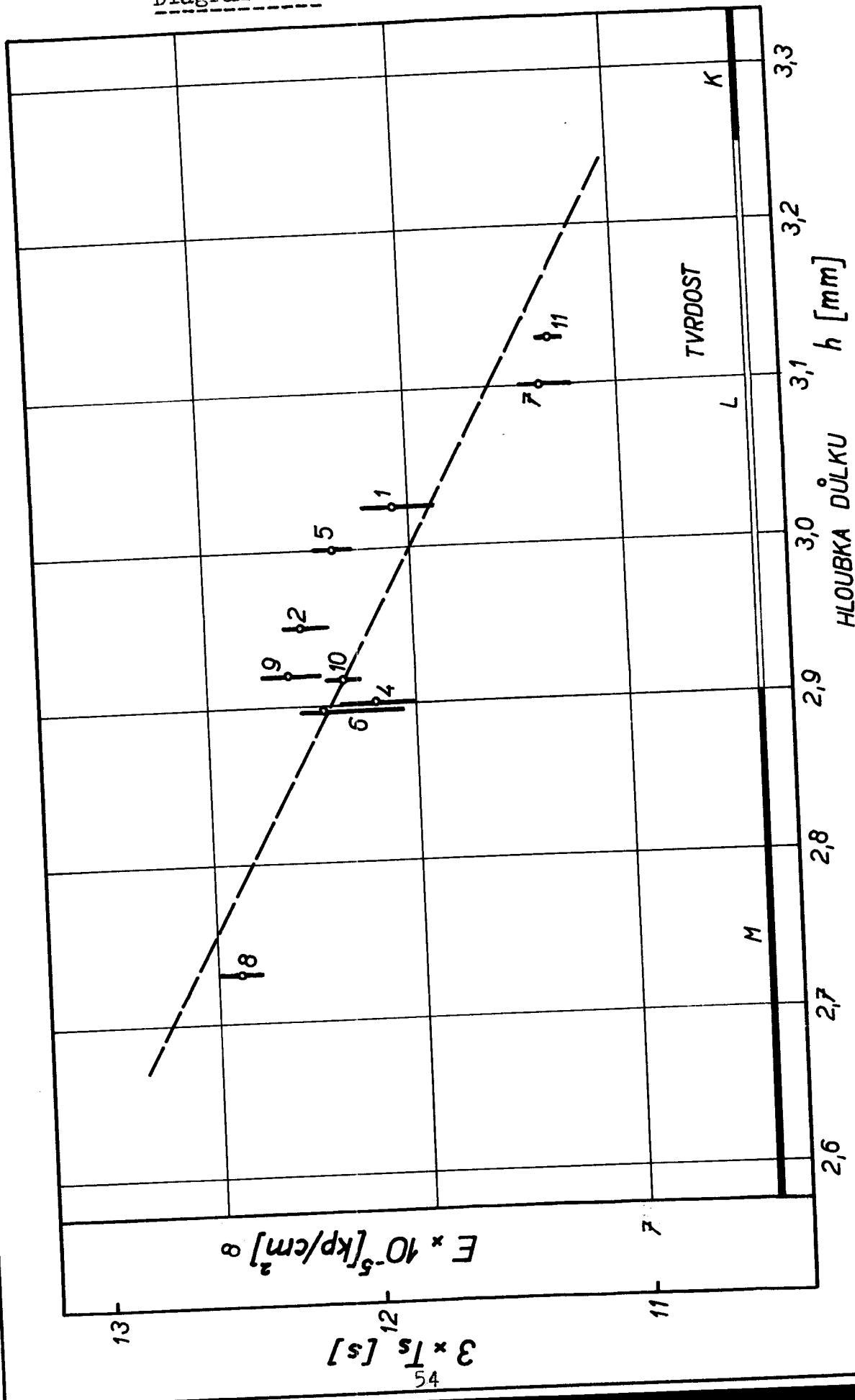


Diagram III.



VŠST
LIBEREC

Určování tvrdosti brusných
kotoučů na podkladě stano -
vené modulu pružnosti.

DP-ST 453/66
5. LISTOPADU 1966
Vladimír Gabriel

6. Porovnání výsledků Zeiss-Mackensenovy a
Rolland-Sorinovy metody.

Základní nevýhoda Zeiss-Mackensenovy metody je v tom, že určuje tvrdost brusného nástroje pouze lokálně, v místě vytvářené důlku. Stavba brusného nástroje je však značně nestejnoměrná. Je to dáno již výrobou, zvláště u lisovaných kotoučů, kde je vliv pracovníka na kvalitu výrobku značný. Tím lze vysvetlit značný rozptyl měření, který na př.u kotouče č.1 dělá až 18 % ze střední hodnoty. U dvojkryvdlové metody Rolland-Sorinovy zahrnuje měření brusný kotouč jako celek, a rozptyl je pak dán pouze nestejným větknutím kotoučů a chybou měření času. Nevýhodou metody je závislost na přesném dodržení rozměru zkoušeného kotouče. Výrobce dodává brusné kotouče v poměrně hrubých rozměrových tolerancích, a přepočet modulu pružnosti na kotouč konstantního rozměru podle vzorce 4.19 je dosti obtížný.

Z diagramů I, II a III, udávajících závislost mezi modulem pružnosti změřeným Rolland-Sorinovým způsobem a tvrdostí podle Zeiss-Mackensena, lze soudit, že vzájemná závislost mezi oběma veličinami existuje a je přibližně lineární. Modul pružnosti tedy roste s rostoucí tvrdostí brusného nástroje. Tento předpoklad by mohl být základem pro vytvoření nové stupnice tvrdosti brusných nástrojů v závislosti na modulu pružnosti. Pro širší podložení výsledků by bylo ovšem nutné provést měření na značně vyšším počtu vzorků, které by se musely pro tento účel zvlášť vyrobit v poža-

VŠST
LIBEREC

Určování tvrdosti brusných
kotoučů na podkladě stanovení modulu pružnosti.

DP - ST 453/66

5. LISTOPADU 1966

Vladimír Gabriel

dovaném rozsahu tvrdosti. Dále by bylo vhodné provést porovnání modulu pružnosti s funkčními vlastnostmi brusného nástroje, uvedenými v 2.6., které jsou pro výsledek broušení rozhodující.

V diagramech II a III jsou zahrnuty výsledky měření deseti kotoučů stejného označení A9946L8V. V diagramu II jsou znázorněny průměrné hodnoty měření oběma metodami a rozptylu čtyř měření metody Zeiss-Mackensenovy. Podobně v diagramu III jsou znázorněny rozptyly dvojkyyadlové metody v provedených měřeních. Hodnoty tvrdostí podle Mackensena u téhož kotouče zasahují většinou do dvou sousedních stupňů tvrdosti, v případě kotouče č.1 do třech po sobě následujících stupňů tvrdosti a chyba činí až $\pm 9\%$. Naproti tomu chyba měření dvojkyyadlovou metodou je podle diagramu III nejvýše $\pm 2\%$. Jak je z diagramů patrné, pohybuje se modul pružnosti brusných kotoučů tvrdosti L mezi 7 až $8 \cdot 10^5 \text{ kp/cm}^2$, což je přibližně třetina modulu pružnosti oceli.

V diagramu I jsou, vedle sady stejně označených kotoučů 1 - 11, zaneseny i výsledky měření ostatních kotoučů. Jejich moduly pružnosti odpovídají, vzhledem ke stejnemu typu pojiva, přibližně stejně velikosti zrna a pórovitosti, předpokládané závislosti. Velikost modulu pružnosti pro tvrdost J až 0 se pohybuje v rozmezí 6 až $10 \cdot 10^5 \text{ kp/cm}^2$. Kotouč č.13 s modulem pružnosti $9,27 \cdot 10^5 \text{ kp/cm}^2$ neodpovídá uvedené závislosti. Tuto anomálii lze vysvětlit na př. jinou konečnou teplotou vypalování tohoto kotouče nebo nepřesnosti Zeiss-Mackensenovy metody. Pórovitý kotouč č.12 / A9946M12V/ má modul pružnosti $4,75 \cdot 10^5 \text{ kp/cm}^2$. To odpovídá předpokladům uvedeným ve 3.1. Pro tyto vysoce po-

VŠST
LIBEREC

Určování tvrdosti brusných
kotoučů na podkladě stano -
vení modulu pružnosti.

DP - ST 453/66

5. LISTOPADU 1966

Vladimír Gabriel

rézní kotouče není vhodná Zeiss-Mackensenova metoda, která vykazuje, vzhledem k nepravidelnosti rozložení zrn a pojiva, zkreslené výsledky. Modul pružnosti by mohl dát v tomto případě lepší obraz skutečných vlastností těchto kotoučů. Pro zařazení různě pórovitých kotoučů do používané stupnice tvrdosti, označované písmeny E až Z, by bylo nutno tuto stupnici v závislosti na modulu pružnosti pozměnit pro různé pórovitosti tak, aby tvrdost odpovídala zkušenostem získaným při broušení.

VŠST
LIBEREC

Určování tvrdosti brusných
kotoučů na podkladě stanovení modulu pružnosti.

DP - ST . 453/66
5 LISTOPADU 1966
Vladimír Gabriel

7.

Závěr ..

Měřicí zařízení pro určování modulu pružnosti brusných kotoučů dvojkvadlovou metodou je konstrukčně velmi jednoduché a lze jej kdekoliv vyrobít. Stejně i cejchování přístroje je snadné, vyžaduje pouze, aby cejchovací kotouč měl stejné rozměry jako kotouč měření. Jediným pomocným přístrojem jsou stopky, sloužící s dostatečnou přesností k měření doby záznamu. Zařízení lze použít pro všechny druhy brusných materiálů a pojiva. Nevýhodou měření je hlavně závislost na rozměrech zkoušeného kotouče, které je nutno brát v úvahu při vyhodnocování měření. Druhou nevýhodou je delší doba měření v porovnání na př.s Zeiss-Mackensenovou metodou.

V průběhu práce bylo navrženo měřicí zařízení / výkres DP - 453/66-02 /, pracující na stejném principu jako popsáne zařízení, které však lze upevnit na brusný kotouč nasazený přímo na vřetenu brusky. Tento přístroj by mohl sloužit ke kontrole kotouče prime v pracovní poloze. Cejchování je nutné provádět na cejchovacím kotouči upnutém na témže vřetenu, aby se vyloučily chyby, vzniklé nedostatečnou tuhostí hřídele a ložisek. Zařízení nebylo dosud prakticky vyzkoušeno.

Uvedená metoda měření modulu pružnosti kotoučů může nalézt uplatnění zvláště v laboratorním zkoušení brusných nástrojů. Prati desídu používané metodě měření tvrdosti má, jak je vidět z diagramů, značně vyšší rozlišovací schopnost. Mohla by tedy sloužit i při výběru kotoučů.

VŠST
LIBEREC

Určování tvrdosti brusných
kotoučů na podkladě stanovení modulu pružnosti.

DP-ST 453/66

5. LISTOPADU 1966

Vladimír Gabriel

ču stejných vlastností tam, kde je to pro provoz nutné, na př.u automatických linek, ve kterých jsou zařazeny brousící operace. Také pro výrobce brusiva může být tato metoda přínosem, protože rozšíření poznatků o vlastnostech brusného nástroje je základním předpokladem pro zkvalitnění výroby i pro vývoj nových typů brusných nástrojů, což dále ovlivňuje dosažené výsledky i produktivitu práce u spotřebitelů brusiva.

Na závěr děkujeme všem pracovníkům KOO VŠST za pomoc při uskutečnění této práce. Zároveň děkujeme pracovníkům n.p.Karberundum, kteří umožnili provést výběr zkoušených kotoučů, měření tvrdosti Zeiss-Mackensenovým způsobem a poskytli některé cenné informace.

VŠST
LIBEREC

Určování tvrdosti brusných
kotoučů na podkladě stano-
vení modulu pružnosti.

DP-ST 453/66

5. LISTOPADU 1966

Vladimír Gabriel

Použitá literatura.

- [1] Maslov, J.N.: Základy teorie broušení kovů,
Praha, SNTL, 1953.
- [2] Zedník, V.: Zkoušení kovů, Praha, SNTL, 1957.
- [3] Jareš, V., Jeníček, L.: Modul pružnosti litiny,
Stroj. obzor 16 /1936/, č. 8, 130-131, č. 10, 164-
168.
- [4] Rolland, P., Sorin, P.: Etude d'une méthode uti-
lisant le couplage entre deux systèmes oscil-
lants pour la détermination de la résistance
mécanique des constructions et mesure des mo-
dules d'élasticité, Public scient. et techn.
du Minister de l'air, No. 47, Paris 1934.
- [5] Einführung in die Schleiftechnik, Fachbuch -
verlag, Leipzig, 1957.
- [6] Ljubomudrov, V.N.: Abrazivnyje instrumenty
i ich izgotovlenije, MAŠGIZ, Moskva, 1953.
- [7] Říčka: Vlastnosti brusného nástroje a jejich
hodnocení, Strojírenství, č. 5, 10, 1960.
- [8] Říčka: Hodnocení funkčních vlastností brus-
ných nástrojů, Strojírenství, č. 7, 15, 1965.
- [9] Pursche, G.: Kennzeichnung der Qualität von
Ziehschleifsteinen mit Hilfe des E-Moduls,
Fertigungstechnik und Betrieb, č. 4, 15, 1965.
- [10] Mackenzie: Elastic Constants of a Solid
Containing Spherical Holes, Proc. Phys. Soc.,
London, 1950.
- [11] Beljajev: Pružnost a pevnost I, SNTL, Praha,
1954.